

PAHO



Pan American
Health
Organization



World Health
Organization
REGIONAL OFFICE FOR THE Americas

OPS



Organización
Panamericana
de la Salud



Organización
Mundial de la Salud
ORGANIZACIÓN PARA LAS Américas



Weekly / Semanal

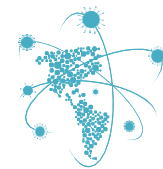
2023

Influenza and ORV Report EW 13 / Reporte de Influenza y OVR SE 13

Data as of 7 April 2023 – Datos hasta el 7 de abril del 2023



Regional Update: Influenza and Other Respiratory Viruses /
Actualización Regional: Influenza y otros virus respiratorios



WEEKLY REPORT DATA SOURCES

The information presented in this update is based on data provided by Ministries of Health and National Influenza Centers of Member States to the global informatics platforms FluNet and FluID; and reports/weekly bulletins that Ministries of Health published on its website or shared with PAHO/WHO.

Compared to the same period of the previous years, the current influenza surveillance data should be interpreted in light of the ongoing COVID-19 pandemic, which may have influence, to differing extents, health seeking behaviors, staffing/routines in sentinel sites, and testing capacities in Member States.

Due to the end-of-the-year holidays, under-reporting may affect the data below.

© Pan American Health Organization, 2023

Some rights reserved. This work is available under license CC BY-NC-SA 3.0 IGO.

La información presentada en esta actualización se obtiene a partir de los datos notificados por los Ministerios de Salud y los Centros Nacionales de Influenza de los Estados Miembros a las plataformas informáticas globales de la OPS/OMS: FluNet y FluID; y de los informes/boletines semanales que los Ministerios de Salud publican en sus páginas web o comparten con la OPS/OMS.

En comparación con el mismo período de los años anteriores, los datos actuales de vigilancia de la influenza deben interpretarse a la luz de la pandemia de COVID-19 en curso, que puede tener influencia en diferentes grados, comportamientos de búsqueda de salud, personal / rutinas en sitios centinela, y capacidades de prueba en los Estados Miembros.

Debido a las vacaciones de fin de año, el subregistro puede afectar los datos a continuación.

© Organización Panamericana de la Salud, 2023

Algunos derechos reservados. Esta obra está disponible en virtud de la licencia CC BY-NC-SA 3.0 IGO.

PAHO interactive data / Datos interactivos de la OPS:

PAHO FluNet: http://ais.paho.org/php/viz/ed_flu.asp

PAHO FluID: <http://ais.paho.org/php/viz/flumart2015.asp>

Influenza Situation Report / Informe de situación de influenza

In English: <https://www.paho.org/hq/influenzareport>

En español: www.paho.org/reportesinfluenza

Severe acute respiratory infections network – SARI_{net} plus

Red de las infecciones respiratorias agudas graves – SARI_{net} plus

<http://www.sarinet.org>

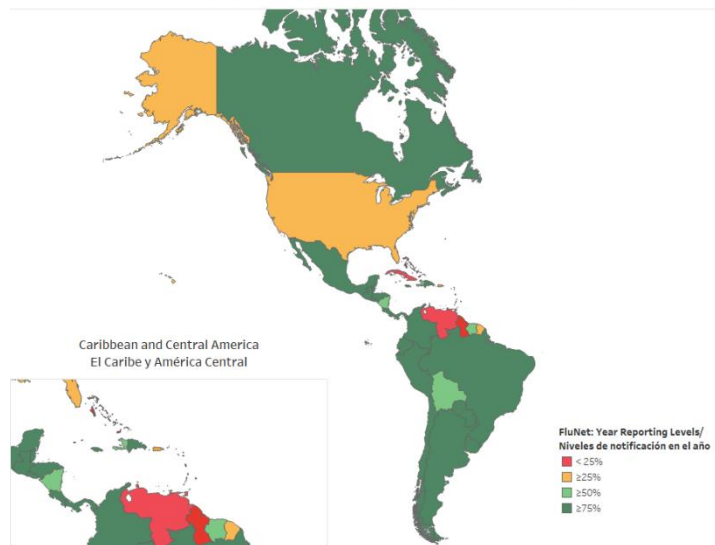
[Go to Index / Ir al Índice](#)



Influenza and ORV Report EW 13 2023 / Reporte de influenza y OVR SE 13 2023

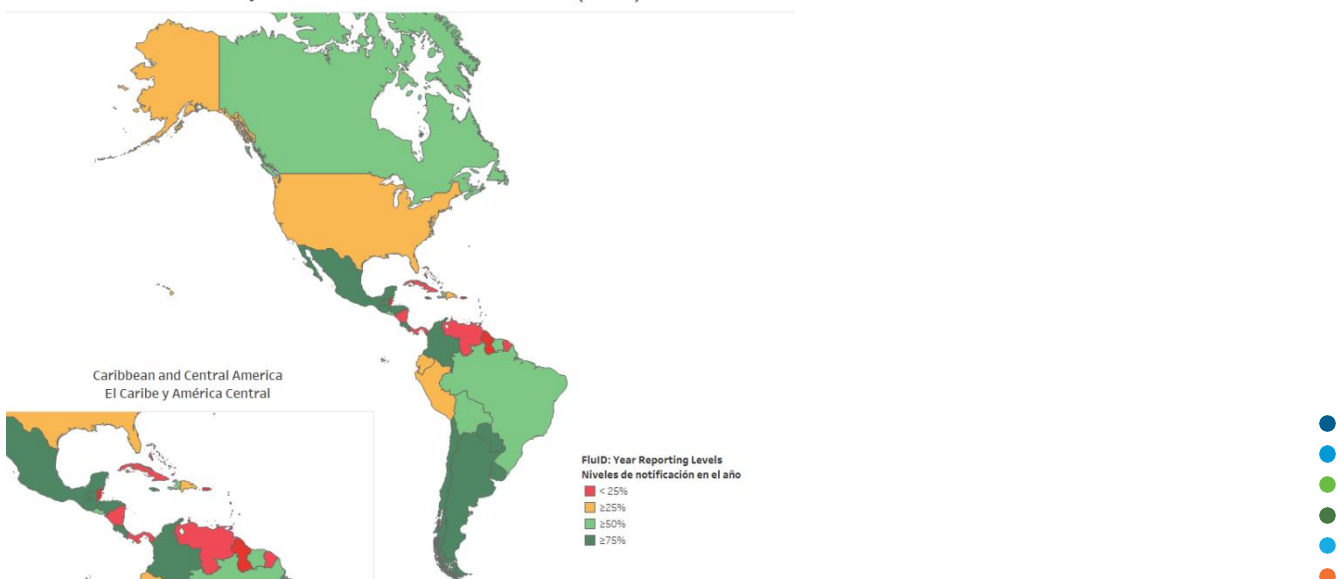
FluNet

Reporting percentage to FluNet during 2023 (EW 13)
Porcentaje de notificación a FluNet en el 2023 (SE 13)



fluID

Reporting Percentage to fluID during 2023 (EW 13)
Porcentaje de notificación a fluID en el 2023 (SE 13)



REPORT INDEX ÍNDICE DE LA ACTUALIZACIÓN

Weekly summary	5
Resumen semanal.....	6
Regional summary - Overall influenza and RSV circulation / Resumen regional - Circulación general de los virus influenza y VRS.....	7
Regional summary - Overall other respiratory virus and SARS-CoV-2 circulation / Resumen regional - Circulación general de otros virus respiratorios y SARS-CoV.....	8
Regional summary – SARS-CoV-2 variants of concern and Influenza virus genetic characterization / Resumen regional – Variantes de preocupación del SARS-CoV-2 y caracterización genética de los virus influenza.....	9
Weekly and cumulative numbers / Números semanales y acumulados	10
Epidemiological and virologic updates by country / Actualización epidemiológica y virológica por país.....	11
North America / América del Norte	12
Caribbean / Caribe	16
Central America / América Central.....	26
South America / América del Sur – Andean Countries / Países Andinos.....	33
South America / América del Sur / South Cone and Brazil / Cono Sur y Brasil.....	39
Technical note / Nota técnica	46
Acronyms / Acrónimos	47





WEEKLY SUMMARY

North America: Influenza virus activity was low in the sub-region, with the predominance of influenza B viruses and all seasonal influenza subtypes detected. SARS-CoV-2 activity was at moderate levels, with low RSV activity. [Canada](#) and the [United States](#) reported low influenza activity, while [Mexico](#) recorded increased influenza activity, although, at a low-intensity level; SARS-CoV-2 and RSV activity were increased.

Caribbean: Influenza percent positivity was moderate, driven by influenza B/Victoria lineage viruses; influenza A(H1N1)pdm09 virus co-circulated. In [Belize](#), influenza activity was increased, with influenza B/Victoria lineage and influenza A(H3N2) co-circulation, at low-intensity levels. SARS-CoV-2 and RSV activity were low in the subregion.

Central America: Influenza activity was moderate, with influenza A and B viruses detected equally. All seasonal influenza subtypes were detected. [El Salvador](#) and [Guatemala](#) reported increased influenza activity at moderate-intensity levels, with the circulation of influenza B/Victoria in [El Salvador](#) and all seasonal influenza subtypes in [Guatemala](#). Severity indicators were at low levels. Influenza B (lineage undetermined) viruses continued high in [Honduras](#), with SARI activity at baseline levels. SARS-CoV-2 percent positivity dropped in the subregion, except in [Costa Rica](#). RSV activity was low overall.

Andean: Influenza activity was low, predominating influenza A(H1N1)pdm09 viruses; influenza B/Victoria and A(H3N2) viruses co-circulated. Overall, influenza detections were very low across reporting countries. SARI activity was increased in [Bolivia](#), with 11.7% influenza-associated SARI. SARS-CoV-2 and RSV activity were low.

Brazil and Southern Cone: Influenza activity was low, with a slowly increasing trend in recent weeks. Influenza B viruses were more frequently detected, and all seasonal influenza subtypes were detected. In [Chile](#), influenza activity increased to low-intensity levels, and SARI activity was low. Increased SARS-CoV-2 activity was reported in [Brazil](#) and [Chile](#). RSV was low among reporting countries.

Avian Influenza: A summary of the avian influenza situation in the region, case management and recommendations are available at [Epidemiological alerts and updates | PAHO/WHO | Pan American Health Organization \(paho.org\)](#)





RESUMEN SEMANAL

América del Norte: la actividad del virus de la influenza estuvo baja en la subregión, con predominio de los virus influenza B y detección de todos los subtipos de influenza estacional. La actividad del SARS-CoV-2 estuvo en niveles moderados, con baja actividad de VRS. Canadá y los Estados Unidos reportaron baja actividad de influenza, mientras que México registró aumento en la actividad del virus de la influenza, aunque, en un nivel de baja intensidad; la actividad del SARS-CoV-2 y del VRS estuvo aumentada.

Caribe: el porcentaje de positividad del virus de la influenza estuvo moderado, debido a las detecciones de influenza B linaje Victoria; con circulación concurrente de influenza A(H1N1)pdm09. En Belice, la actividad del virus de la influenza aumentó, con circulación concurrente de influenza B, linaje Victoria e influenza A(H3N2), en niveles de baja intensidad. La actividad del SARS-CoV-2 y del VRS estuvo baja en la subregión.

América Central: la actividad del virus de la influenza estuvo moderada, con igual número de detecciones de los virus influenza A y B. Se detectaron todos los subtipos de influenza estacional. El Salvador y Guatemala reportaron aumento de la actividad del virus de la influenza en niveles de intensidad moderada, con circulación de influenza B, linaje Victoria en El Salvador, y todos los subtipos de influenza estacional en Guatemala. Los indicadores de gravedad estuvieron en niveles bajos. Las detecciones de influenza B (linaje indeterminado) continuaron altas en Honduras, con una actividad de las IRAG en los niveles basales. El porcentaje de positividad del SARS-CoV-2 disminuyó en la subregión, excepto en Costa Rica. La actividad del VRS estuvo baja en general.

Países Andinos: la actividad del virus de la influenza estuvo baja, predominando los virus influenza A(H1N1)pdm09; con circulación concurrente de los virus influenza B/Victoria y A(H3N2). En general, las detecciones de influenza estuvieron muy bajas en los países que reportaron. La actividad de la IRAG estuvo aumentada en Bolivia, con un 11,7 % de los casos de IRAG asociados al virus de la influenza. La actividad del SARS-CoV-2 y del VRS estuvo baja.

Brasil y Cono Sur: la actividad del virus de la influenza estuvo baja, con una tendencia lenta al aumento en las últimas semanas. Los virus influenza B se detectaron con mayor frecuencia y se detectaron todos los subtipos de influenza estacional. En Chile, la actividad del virus de la influenza aumentó en niveles de baja intensidad y la actividad de las IRAG estuvo baja. Se reportó una mayor actividad del SARS-CoV-2 en Brasil y Chile. Las detecciones del VRS estuvieron bajas en los países que reportaron.

Influenza Aviar: el resumen sobre la situación epidemiológica de influenza aviar en la región, manejo de los casos y recomendaciones se encuentran disponibles en [Alertas y actualizaciones epidemiológicas | OPS/OMS | Organización Panamericana de la Salud \(paho.org\)](#)

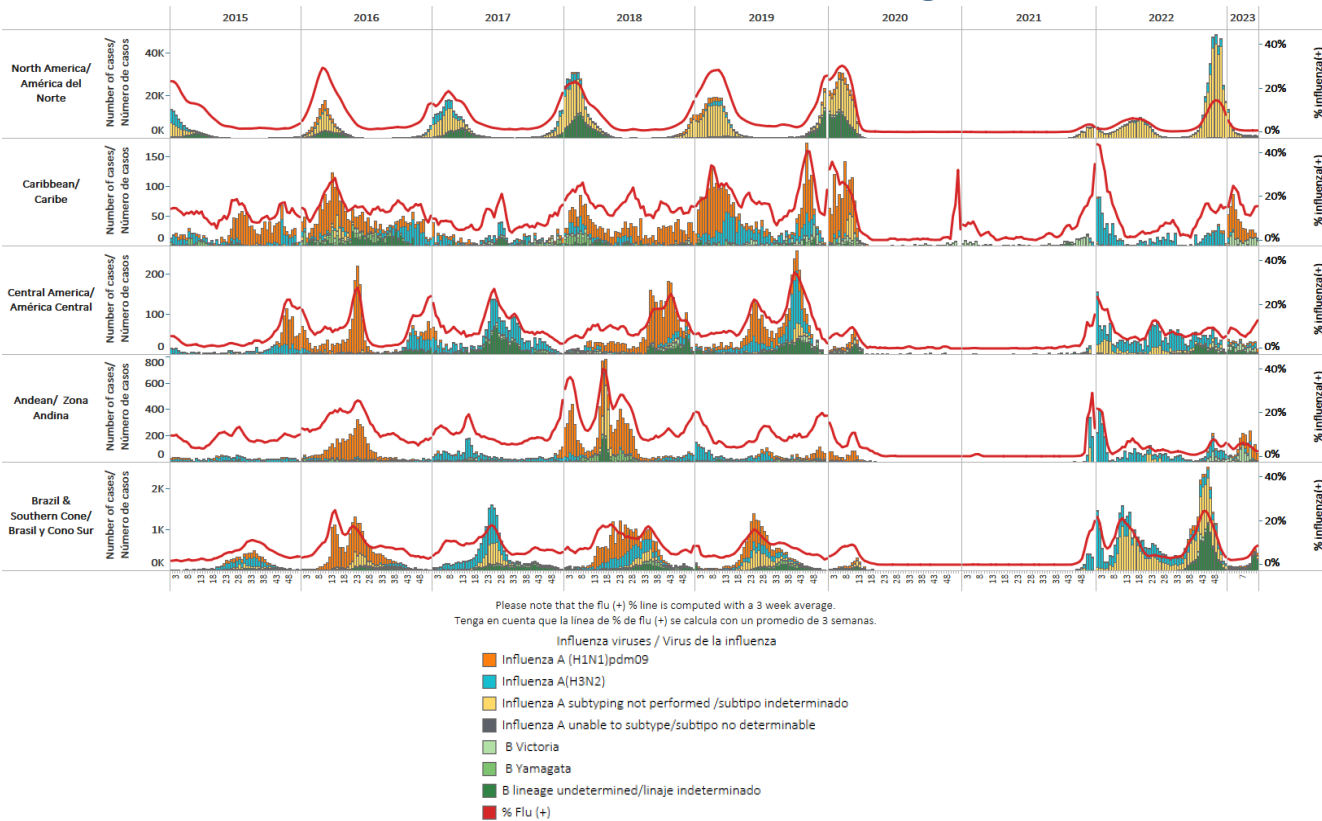




REGIONAL SUMMARY / RESUMEN REGIONAL

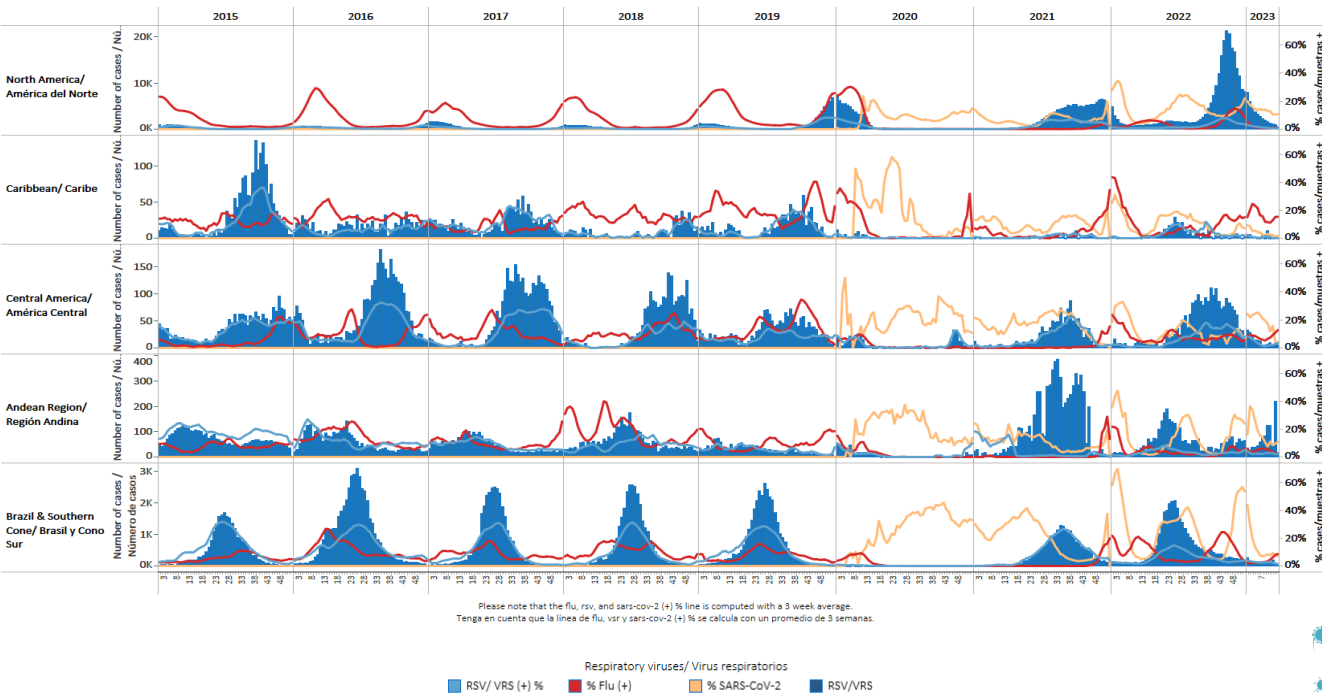
Influenza circulation by subregion, 2015-2023

Circulación virus influenza por subregión, 2015-2023



Respiratory syncytial virus (RSV) circulation by Subregion, 2015-2023

Circulación virus respiratorio sincitial (VRS) por subregión, 2015-2023





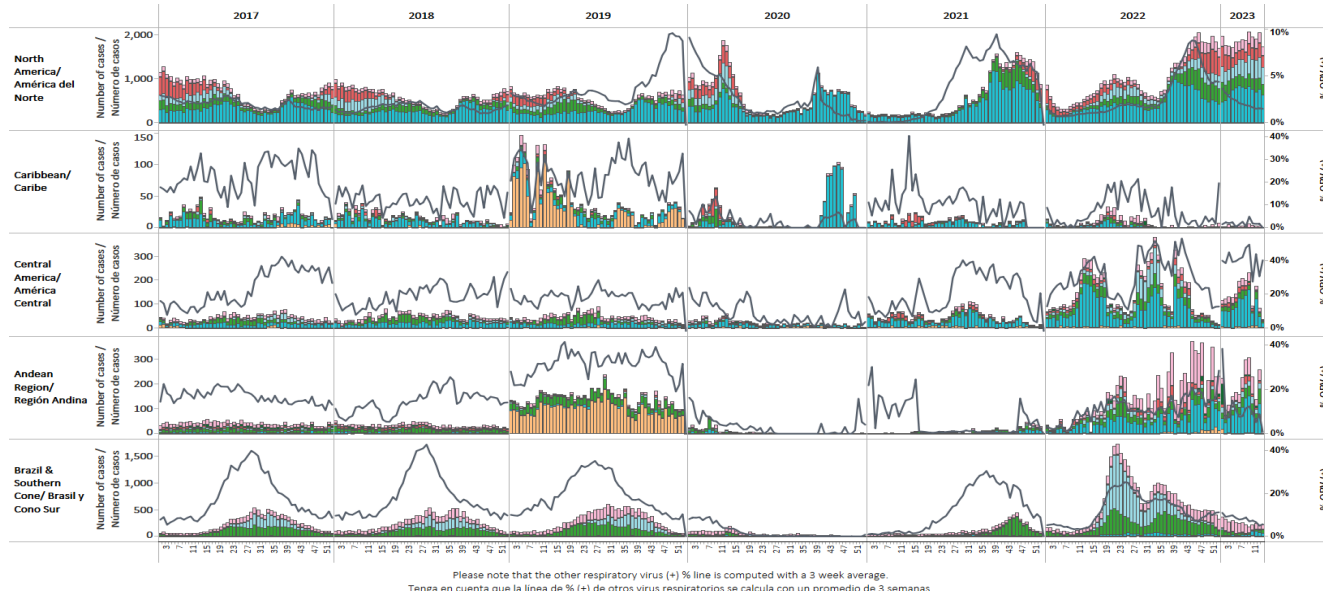
REGIONAL SUMMARY / RESUMEN REGIONAL

Weekly / Semanal

8

Other respiratory viruses (ORV) circulation by subregion, 2017-2023

Circulación de otros virus respiratorios (OVR) por subregión, 2017-2023

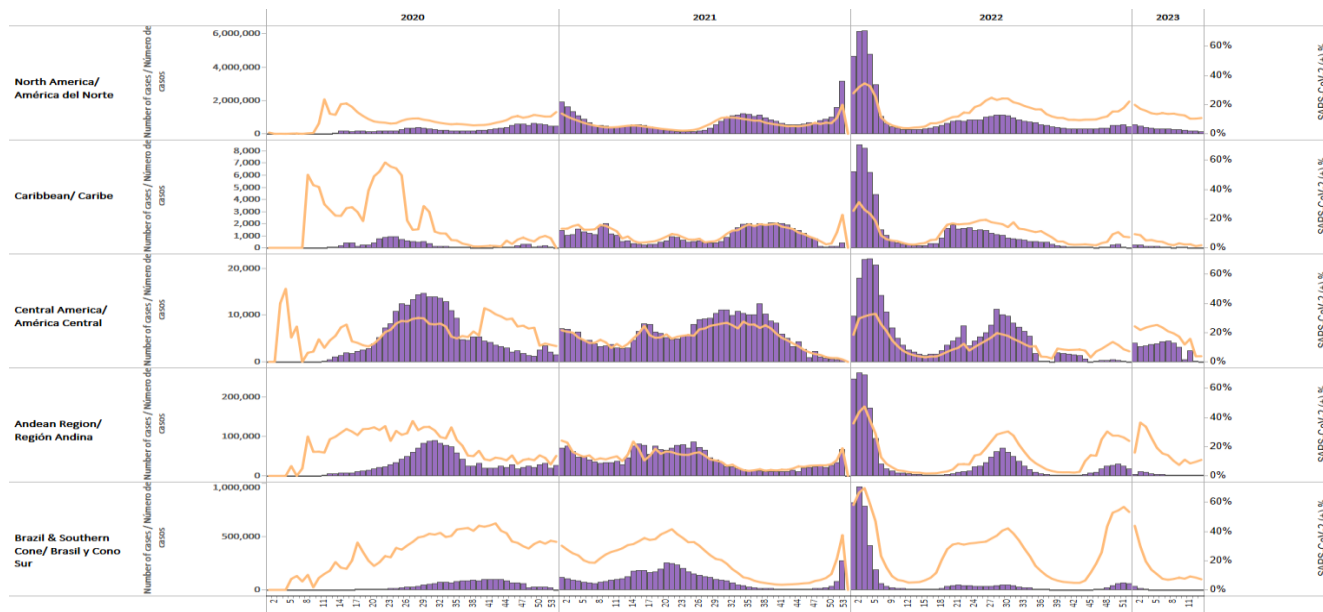


Respiratory viruses / Virus respiratorios

■ Adenovirus ■ Bocavirus ■ Coronavirus ■ Metapneumovir... ■ Parainfluenza ■ Rhinovirus ■ Other viruses/Ot. ■ % Other Respirat..

SARS-CoV-2 circulation by Subregion, 2020 – 2023

Circulación de SARS-CoV-2 por subregión, 2020 – 2023



* North America/América del Norte:
Combined U.S. Laboratories Reporting to CDC: Public Health Laboratories and a Subset of Commercial and Clinical Laboratories.

■ SARS- CoV-2 (+)

■ SARS-CoV-2 (+) %





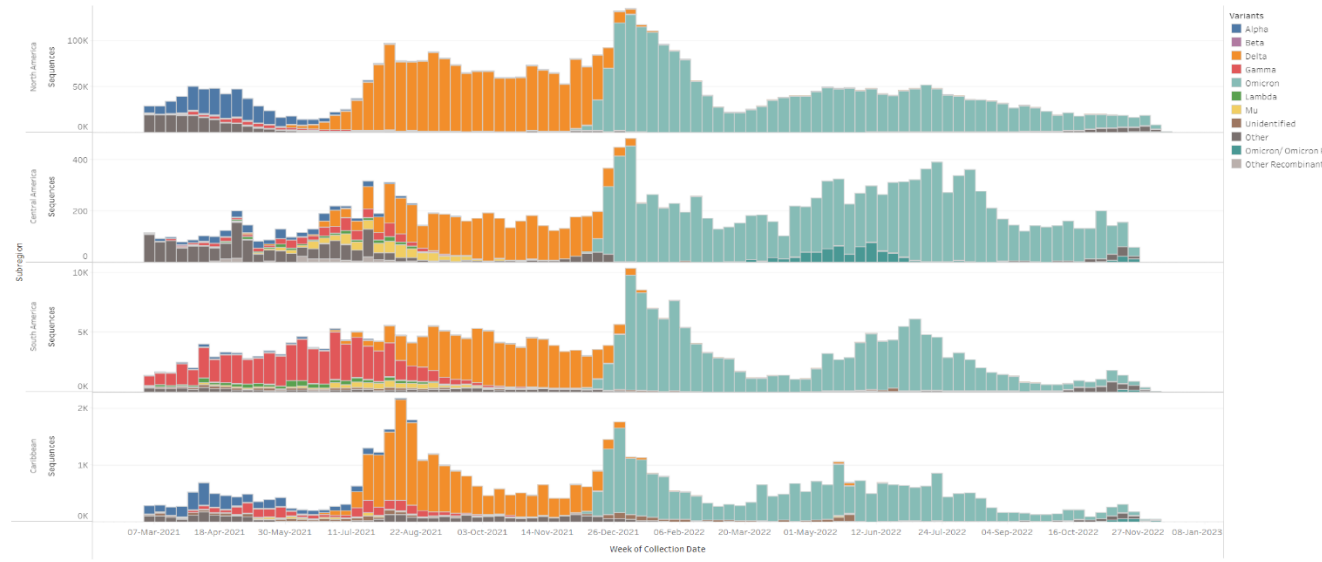
REGIONAL SUMMARY / RESUMEN REGIONAL

Weekly / Semanal

9

SARS-CoV-2 Variants of Concern by Subregion, February 2021 – December 2022

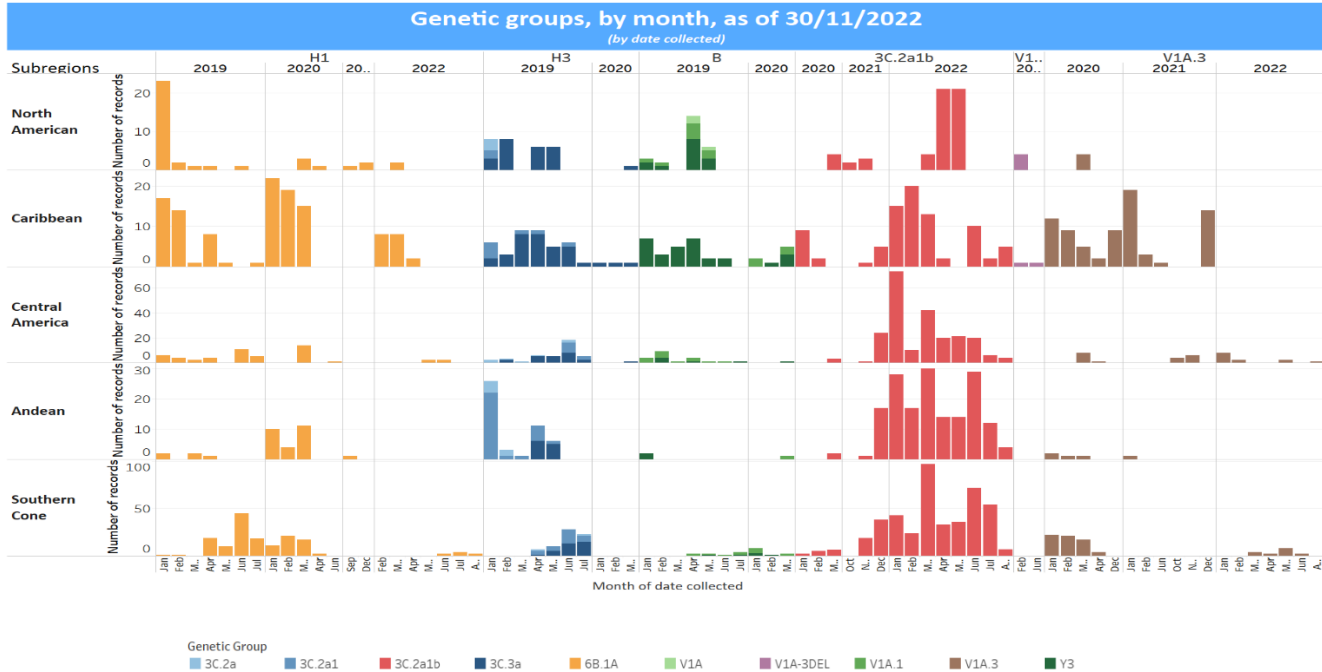
Variantes de preocupación del SARS-CoV-2 por subregión, febrero de 2021 – diciembre de 2022



Source: GISAID

Influenza virus genetic characterization by subregion, 2019 - 2022

Caracterización genética de los virus influenza por subregión, 2019 – 2022



SARInet plus



WEEKLY AND CUMULATIVE NUMBERS OF INFLUENZA AND OTHER RESPIRATORY VIRUSES, BY COUNTRY AND EW, 2023^{1,2}

NÚMEROS SEMANALES Y ACUMULADOS DE INFLUENZA Y OTROS VIRUS RESPIRATORIOS, POR PAÍS Y SE, 2023^{3,4}

Weekly / Semanal

10

EW 13, 2023 / SE 13 de 2023																					
	N samples Flu & ORV muestras Flu & OVR	A(H1N1)	A(H3N2)	FLU/Neto	Influenza A subtype/linaje indeterminado	B Victoria	B Yamagata	B lineage not determined/linaje indeterminado	Influenza (+) %	Adenovirus*	Parainfluenza	VRS	% RSV/VRS (+)	Coronavirus	Metapneumovirus	Rinovirus*	% All Positive Samples (+) Flu & OVR	N samples/ muestras SARS-CoV-2	SARS-CoV-2 (+)	SARS-CoV-2 (%)	
North America / América del Norte	Canada	77,322	7	13	122				364	0.7%	201	255	313	0%	269	380	617	3.3%	52,009	6,871	13.2%
	Mexico	39	0	0	0	2	0	5	17.9%	1	2	0	0%	1	0	3	38.5%	9,685	4,097	42.3%	
	USA	56,197	6	10	250	8	0	252	0.9%			213	0%				1.3%	1,307,470	136,879	10.5%	
Caribbean / Caribe	Belize	48	3	0	0	0	4	0	0	14.6%							14.6%	667	6	0.9%	
	Dominican Republic	12	0	0	0	0	0	0	0.0%	0	0	0	0%	0	0	0	0.0%	12	0	0.0%	
	Jamaica	4	0	0	0	0	2	0	50.0%	0	0	0	0%	0	0	0	50.0%	19	0	0.0%	
	Saint Lucia	0	0	0	0	0	0	0	0	0	0	0	0%	0	0	0	0.0%	258	11	4.3%	
Central America / América Central	Costa Rica	0	0	0	0	0	0	0	0	0	0	0	0%	0	0	0	0.0%	2	2	100.0%	
	El Salvador	5	0	0	0	1	0	0	20.0%	1	1	0	0%	0	0	0	60.0%	5	0	0.0%	
	Guatemala	33	2	5	0	0	2	0	30.3%	0	5	4	12%	1	0	7	87.9%	890	22	2.5%	
	Panama	55	0	2	0	0	0	0	3.6%	1	1	2%	1	0	11	34.5%	139	16	11.5%		
Andean / Zona Andina	Bolivia	17	0	5	0	0	4	0	52.9%	0	0	4	24%	0	0	2	88.2%	459	424	92.4%	
	Ecuador	110	0	1	0	0	0	0	4.5%	0	0	4	4%	0	0	0	8.2%	204	35	17.2%	
	Peru	2,898	3	49		0	0		1.8%			10	0%			0	2.1%	10,355	746	7.2%	
	Argentina	90	0	0	0	0	0	1	1.1%	0	0	2	2%	0			3.3%	184	19	10.3%	
Brazil & Southern Cone / Brasil y Cono Sur	Brazil	2,325	0	24	0	0	0	0	267	12.3%	1	1	14	1%	0	0	2	13.0%	3,291	277	8.7%
	Chile	2,195	1	24	69	0	21	0	9	5.6%	77	60	35	2%	9			13.9%	1,986	96	4.8%
	Chile_IRAG	160	0	2	11	0	0	0	2	9.4%	5	9	6	4%	1	0	52	56.3%	99	10	10.1%
	Paraguay	2	0	1						0	50.0%	0	0	0%	0	0	0	50.0%	17	0	0.0%
	Uruguay	32	0	0	0	0	0	0	0.0%	0	0	0	0%	0	0	0	0.0%	32	0	0.0%	
Grand Total		141,544	22	136	452	0	46	0	905	1.1%	287	334	606	0%	273	389	694	2.9%	1,387,790	149,511	10.8%

These are the raw numbers provided in the country's FluNet update (Not the smoothed averages).
Estos son los números crudos proporcionados en la actualización FluNet del país (no los promedios suavizados).

*Please note blank cells indicate N/A.
*Por favor note que las celdas en blanco indican N/A.

EW 10 - EW 13, 2023 / SE 10 - SE 13 de 2023																						
	Samples procesadas / muestras procesadas	Influenza (H3N2)	Influenza A/H1N1(jmd02)*	Influenza A subtyping not performed*	Influenza B Victoria*	Influenza B Yamagata*	Influenza B lineage undetermined*	Influenza (+) %	Adenovirus*	Parainfluenza*	RSV/VRS*	% RSV/VRS (+)	Bocavirus*	Coronavirus*	Metapneumovirus*	Rinovirus*	% All Positive Samples (+) Flu & OVR	N samples/ muestras SARS-CoV-2	SARS-CoV-2 (+)	SARS-CoV-2 (%)		
North America / América del Norte	Canada	341,187	25	88	424	0	0	1,172	0.5%	864	1,044	1,866	0.5%	0	1,122	1,714	2,783	3.2%	227,756	31,724	13.9%	
	Mexico	954	17	9	0	88	0	48	17.1%	18	25	84	8.7%	8	24	2	57	39.7%	127,855	53,203	41.0%	
	USA	316,970	100	160	1,732	67	0	1,133	1.0%	0	0	1,864	0.6%	0	0	0	0	1.6%	6,255,780	649,047	10.3%	
Caribbean / Caribe	Belize	226	3	10	0	21	0	0	15.0%	0	0	0		0	0	0	0	0	305	29	0.9%	
	Dominican Republic	180	0	15	0	0	0	0	8.3%	10	0	0	0%	0	0	0	0	13.9%	168	1	0.6%	
	Haiti	169	0	3	0	0	0	0	1.8%	0	0	0	0%	0	0	0	0	1.8%	35	4	1.1%	
	Jamaica	52	0	1	0	11	0	0	23.1%	0	0	0	0%	0	0	0	0	23.1%	132	5	3.8%	
Central America / América Central	Costa Rica	212	0	4	0	0	0	0	1.9%	26	37	0	0%	0	8	0	137	100.0%	15,922	2,895	18.2%	
	El Salvador	67	3	0	0	10	0	0	19.4%	4	4	0	0%	0	0	0	0	31.3%	45	0	0.0%	
	Guatemala	213	23	16	1	18	0	6	30.5%	7	20	24	11.3%	2	5	1	53	89.2%	3,398	36	0.9%	
	Honduras	77	0	0	0	1	0	9	13.0%	0	0	0	0%	0	0	0	0	13.0%	10	0	0.0%	
Andean / Zona Andina	Nicaragua	332	0	0	0	1	0	3	1.2%	0	1	0	0%	0	0	0	0	1.5%	2,183	23	1.1%	
	Panama	225	1	4	0	5	0	0	4.4%	3	4	2	0%	4	3	2	42	32.4%	525	30	5.7%	
	Bolivia	236	1	16	0	28	0	0	19.1%	8	0	23	9.7%	0	0	0	12	37.3%	2,733	2,657	95.5%	
	Colombia	5,875	25	98	5	73	0	0	3.5%	130	121	344	5.9%	9	25	69	238	19.6%	11,108	514	4.6%	
Andean / Zona Andina	Ecuador	702	2	24	0	15	4	28	10.4%	1	0	9	13%	0	0	0	0	11.8%	1,215	147	12.1%	
	Peru	8,885	23	168	0	13	0	0	2.3%	0	0	29	0.3%	0	0	0	10	2.7%	42,752	2,400	5.6%	
	Venezuela	52	0	10	0	0	0	0	19.2%	0	0	1	1.9%	0	0	1	0	23.1%	0	0	0.0%	
	Argentina	3,595	0	0	12	0	7	0	0.5%	55	7	121	3.4%	0	0	0	0	5.6%	31,918	2,294	7.2%	
Brazil & Southern Cone / Brasil y Cono Sur	Brazil	9,692	0	77	0	20	0	1,077	12.1%	7	5	352	2.7%	2	2	8	14	15.2%	15,511	1,729	11.1%	
	Chile	7,654	5	87	125	75	0	18	4.0%	260	141	69	0.9%	0	0	0	36	0	10.6%	7,443	566	7.6%
	Chile_IRAG	754	0	9	27	2	0	14	6.9%	28	19	16	2.1%	5	2	4	265	56.6%	531	80	15.1%	
	Paraguay	151	0	1	0	0	0	2	1.9%	0	0	2	1.2%	0	0	0	0	3.1%	59	4	6.8%	
	Paraguay_IRAG	182	0	0	0	0	0	2	1.1%	0	0	9	4.9%	0	0	0	0	6.0%	533	16	3.0%	
	Uruguay	225	2	0	0	1	0	0	13%	1	0	0	0%	0	0	0	0	1.8%	225	6	2.7%	
Grand Total		69,941	231	801	2,326	460	4	3,620	1.1%	1,422	1,428	4,725	0.7%	30	1,191	1,837	3,591	3.1%	6,791,936	746,410	11.0%	

	Influenza B	B Victoria	B Yamagata	B lineage undetermined/linaje indeterminado	B Victoria	B Yamagata
North America / América del Norte	2,508	155	0	2,353	100%	0%
Caribbean / Caribe	54	54	0	0	100%	0%
Central America / América Central	53	35	0	18	100%	0%
Andean / Zona Andina	161	129	4	28	97%	3%
Brazil & Southern Cone / Brasil y Cono Sur	1,220	99	0	1,121	100%	0%
Grand Total	3,996	472	4	3,520	99%	1%

¹ The detection of respiratory viruses other than influenza depends on the diagnostic capacity of each country and monitoring system. The absence of report of other respiratory viruses does not indicate the absence of their circulation.

² Data reported by the Ministries of Health of the countries, from sentinel and intensified surveillance for acute respiratory disease.

³ La detección de otros virus respiratorios diferentes a influenza depende de la capacidad diagnóstica de cada país y del sistema de vigilancia establecido. El que no se reporten otros virus respiratorios, no significa, ni indica la ausencia de circulación viral.

⁴ Datos reportados por los Ministerios de Salud de los países, provenientes de la vigilancia centinela e intensificada de enfermedad respiratoria aguda.



EPIDEMIOLOGIC AND VIROLOGIC UPDATE OF INFLUENZA
AND OTHER RESPIRATORY VIRUSES BY COUNTRY
ACTUALIZACIÓN EPIDEMIOLÓGICA Y VIROLÓGICA DE LA
INFLUENZA Y OTROS VIRUS RESPIRATORIOS POR PAÍS





**SUBREGION
NORTH AMERICA / AMÉRICA DEL NORTE**

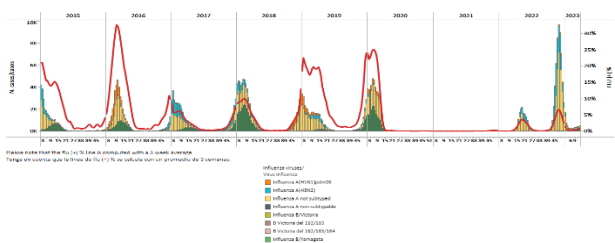




Canada / Canadá

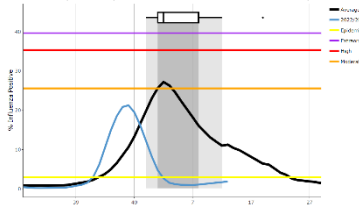
During EW 13 2023, Influenza A and B viruses circulated, with a larger proportion of influenza B; influenza A(H1N1)pdm09, B/Victoria, and A(H3N2) were co-circulated; influenza activity remains low at interseasonal levels. RSV activity continues to decrease within expected levels for this time of year (Graphs 1, 2, and 3). Rhinovirus, parainfluenza, metapneumovirus, and adenovirus detections continued to be recorded, with activity within or below expected levels (Graph 4). During EW 13, the ILI percentage visits (1.1%) to healthcare professionals were slightly below levels characteristic of this time of year (Graph 5). The highest cumulative influenza-associated hospitalizations rate was 132/100 000 population among adults 65 years and older and 123/100 000 among younger than five years. No influenza-associated pediatric deaths have been reported since EW 50, 2022. In EW 13, the COVID-19 weekly rate remained highest among individuals aged 80 and older; 54.8% were female, and 33.8% were between 20 and 39 (Graph 6). / Durante la SE 13 de 2023, circularon los virus de la influenza A y B, con una proporción mayor de influenza B; circularon concurrentemente influenza A(H1N1)pdm09, B/Victoria y A(H3N2); la actividad del VRS continúa disminuyendo dentro de los niveles esperados para esta época del año (Gráficos 1, 2 y 3). Continuó el registro de detecciones de rinovirus, parainfluenza, metapneumovirus y adenovirus, con actividad en o por debajo de los niveles esperados (Gráfico 4). Durante la SE 13 el porcentaje de consultas por ETI (1,1 %) a profesionales de salud estuvo levemente por debajo de los niveles característicos de esta época del año (Gráfico 5). La tasa acumulada más alta de hospitalizaciones asociadas a la influenza fue de 132/100 000 habitantes en adultos de 65 años o más y 123/100 000 en menores de cinco años. No se han reportado muertes pediátricas asociadas a influenza desde la SE 50 de 2022. En la SE 13 la tasa semanal de COVID-19 se mantuvo más alta en las personas de 80 años o más; el 54,8 % eran mujeres y el 33,8 % de ellas tenían entre 20 y 39 años (Gráfico 6).

Graph 1. Canada: Influenza virus distribution, EW 13, 2015-23
Distribución de virus de influenza, SE 13, 2015-23



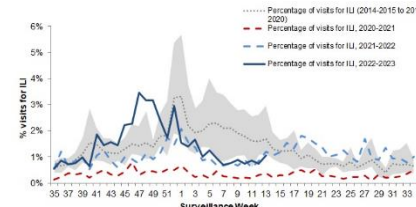
Graph 3. Canada: Percent positivity for influenza, EW 13, 2023
(compared to 2010-22)

Porcentaje de positividad de influenza, SE 13 de 2023
(comparado con 2010-22)



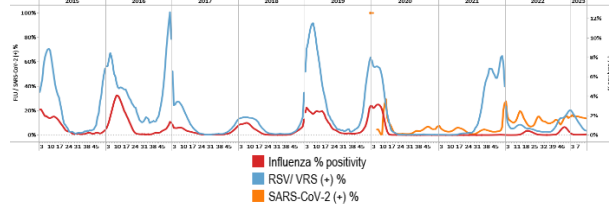
Graph 5. Canada: Percentage of ILI visits by sentinel sites,
EW 13, 2022 – EW 13, 2023

Porcentaje de casos de ETI por sitio centinela ,
SE 13 de 2022 a SE 13 de 2023



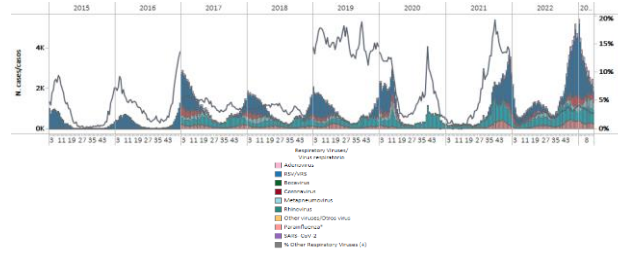
Graph 2. Canada: Influenza, RSV, and SARS-CoV-2 distribution
EW 13, 2015-23

Distribución de los virus influenza, VRS y SARS-CoV-2, SE 13 2015-23



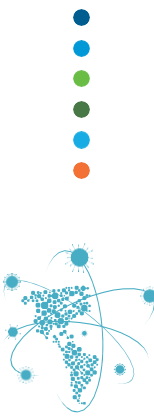
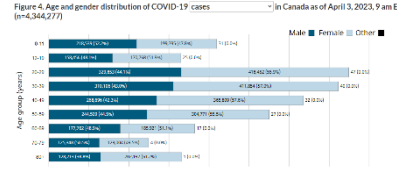
Graph 4. Canada: RSV, SARS-CoV-2, and other respiratory viruses distribution, EW 13 2015-23

Distribución del VRS, SARS-CoV-2 y otros virus respiratorios,
SE 13, 2015-23



Graph 6. Canada: Age and gender distribution of COVID-19 cases
as of 12 April 2023

Distribución por edad y sexo de los casos de la COVID-19,
al 12 de abril de 2023



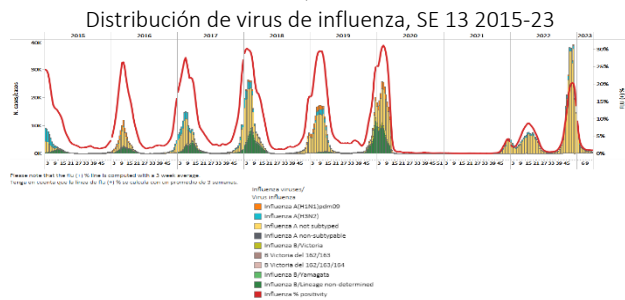
Influenza and ORV Report EW 13 2023 / Reporte de influenza y OVR SE 13 2023



United States / Estados Unidos

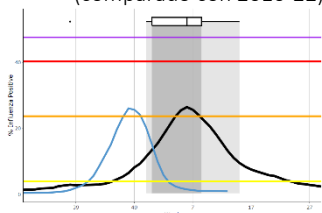
As of EW 13 2023, influenza A viruses predominated; A(H1N1)pdm09 was more frequently detected among subtyped samples, followed by influenza B/Victoria (where lineage was determined) and A(H3N2). Seasonal influenza activity remained at baseline levels (Graphs 1, 2, and 3). Similarly, respiratory syncytial virus activity remained low (Graph 2). Influenza-like illness (ILI) remained stable, with 2.3% of outpatient ILI visits below the national baseline for this time of year (Graph 4). In EW 13, most jurisdictions reported low or minimal ILI activity, three experienced moderate activity, and two had high activity (Graph 5). According to the FluSurv-NET system, the overall cumulative hospitalization rate was 61.1/100 000 population, similar to the end-of-season hospitalization rates for four seasons (2014-15, 2016-17, 2018-19, and 2019-20). Laboratory-confirmed COVID-19-associated hospitalizations have decreased, with a - 19.5% percent change from EW 12 2023 (Graph 6). During EW 13, 7.9% of the deaths were due to pneumonia, influenza, and COVID-19 (PIC). This percentage remained stable compared to week 12, which is above the epidemic threshold of 7.1% for this week. / En la SE 13 de 2023 predominaron los virus influenza A; A(H1N1)pdm09 se detectó con mayor frecuencia entre las muestras con subtipo determinado, seguido de influenza B linaje Victoria (muestras con linaje determinado) y A(H3N2). La actividad de la influenza estacional se mantuvo en los niveles basales (Gráficos 1, 2 y 3). Asimismo, la actividad del virus respiratorio sincitial se mantuvo baja (Gráfico 2). La enfermedad tipo influenza (ETI) se mantuvo estable, con un 2,3 % de visitas ambulatorias por ETI por debajo de la línea de base nacional para esta época del año (Gráfico 4). En la SE 13 la mayoría de las jurisdicciones reportaron actividad mínima o baja de ETI, tres experimentaron actividad moderada y dos tuvieron una actividad alta (Gráfico 5). Según el sistema FluSurv-NET, la tasa de hospitalización acumulada general fue de 61,1/100 000 habitantes, similar a las tasas de hospitalización al final de la temporada durante cuatro temporadas (2014-15, 2016-17, 2018-19 y 2019-20).). Las hospitalizaciones asociadas a la COVID-19 confirmadas por laboratorio han disminuido, con un cambio porcentual de -19,5 % respecto a la SE 12 de 2023 (Gráfico 6). Durante la SE 13 el 7,9 % de las muertes se debieron a neumonía, influenza y la COVID-19 (PIC, por su abreviatura en inglés). Este porcentaje se mantuvo estable con respecto a la semana 12, por encima del umbral epidémico de 7,1% para esta semana.

Graph 1. USA: Influenza virus distribution, EW 13, 2015-23



Graph 3. USA: Percent positivity for influenza, EW 13, 2023 (compared to 2010-22)

Porcentaje de positividad de influenza, SE 13 de 2023 (comparado con 2010-22)

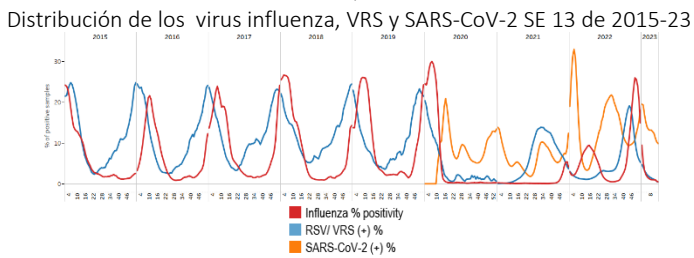


Graph 5. USA: ILI activity level indicator by state, EW 13, 2021-2023

Indicador de nivel de actividad de la ETI por estado, SE 13, 2021-2023

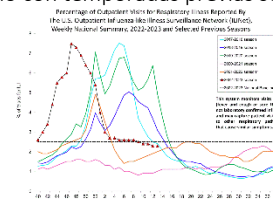


Graph 2. USA: Influenza, RSV, and SARS-CoV-2 distribution EW 13, 2015-23



Graph 4. USA: Percentage of visits for ILI, EW 13 2023 compared to selected previous seasons

Porcentaje de visitas por ETI, SE 13, 2023 comparado con temporadas previas seleccionadas



Graph 6. USA: New hospital admissions of patients with confirmed COVID-19, August 1, 2020 – April 8, 2023

Nuevos ingresos hospitalarios de pacientes con COVID-19 confirmado, 1 de agosto de 2020 al 8 de abril de 2023

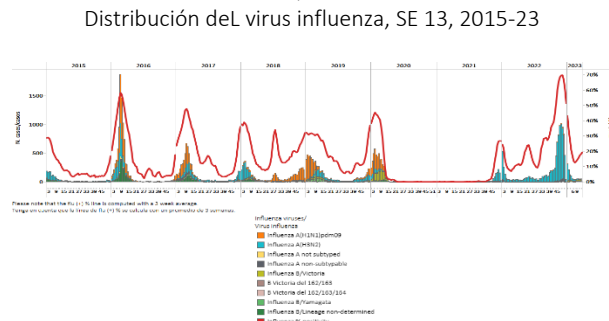




Mexico / México

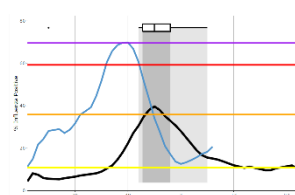
In EW 13 2023, influenza B/Victoria detections (where lineage was characterized) were reported. After a decrease, in recent weeks influenza activity has increased again above expected levels at low-intensity levels for this time of year (Graphs 1 and 3). Mexico City, Puebla, and Nuevo Leon, reported most of influenza cases. Respiratory syncytial virus detections were recorded; RSV activity stays elevated. Most RSV-associated cases were registered in Aguascalientes, Mexico City and Mexico State. SARS-CoV-2 percent positivity (42.3%) continued unchanged compared to the previous week's percentage (Graphs 2 and 4). SARI cases were at the average of prior seasons at low levels (Graph 5). Similarly, Influenza-like illness (ILI) cases were above the mean of previous seasons at low levels (Graph 6). The 25-29 age group had the highest SARI/ILI incidence cumulative rate (10.7); the SARI-ILI ratio was 0.1:1; most cases resided in Mexico City, Nuevo Leon, and Queretaro. / En la SE 13 de 2023, se reportaron detecciones de influenza B/Victoria (en muestras con linaje caracterizado). Luego de una disminución en las últimas semanas, la actividad de la influenza ha vuelto a aumentar por encima de los niveles esperados ubicándose en niveles de baja intensidad para esta época del año (Gráficos 1 y 3). La Ciudad de México, Puebla y Nuevo León reportaron la mayoría de los casos de influenza. Se registraron detecciones de virus respiratorio sincitial, la actividad del VRS se mantiene elevada. La mayoría de los casos asociados a VRS se registraron en Aguascalientes, Ciudad de México y en el Estado de México. El porcentaje de positividad de SARS-CoV-2 (42,3 %) continuó sin cambios en comparación con el porcentaje de la semana previa (Gráficos 2 y 4). El número de casos de IRAG se ubicó en el promedio de temporadas previas en niveles de actividad bajos (Gráfico 5). De igual manera, el número de casos de enfermedad tipo influenza (ETI) estuvo por encima de la media de temporadas anteriores ubicándose en niveles de actividad bajos (Gráfico 6). El grupo de edad de 25 a 29 años presentó la mayor tasa acumulada de incidencia de IRAG/ETI (10,7); la razón IRAG-ETI fue de 0,1:1; la mayoría de los casos residían en la Ciudad de México, Nuevo León y Querétaro.

Graph 1. Mexico: Influenza virus distribution, EW 13, 2015-23



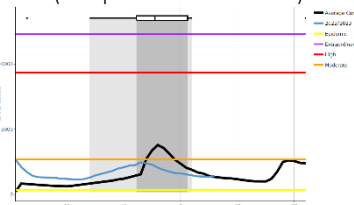
Graph 3. Mexico: Percent positivity for influenza, EW 13, 2023 (compared to 2010-22)

Porcentaje de positividad de influenza, SE 13 de 2023 (comparado con 2010-22)

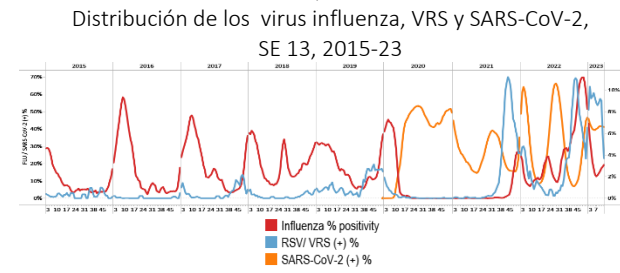


Graph 5. Mexico: Number of SARI cases, EW 13, 2023 (compared to 2015-22)

Número de casos de IRAG, SE 13 de 2023 (comparado con 2015-22)

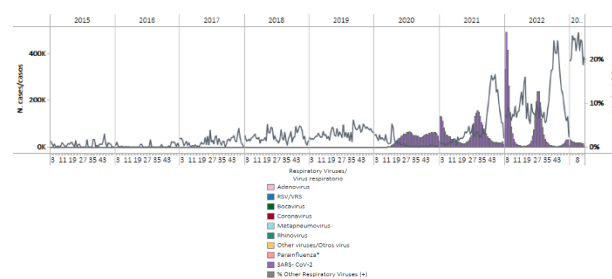


Graph 2. Mexico: Influenza, RSV, and SARS-CoV-2 distribution EW 13, 2015-23



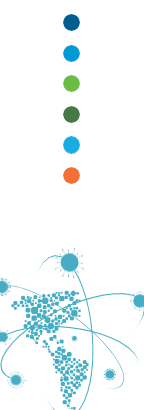
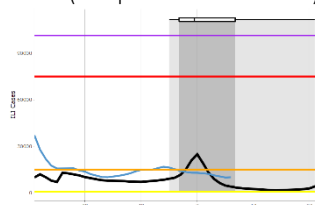
Graph 4. Mexico: RSV, SARS-CoV-2, and other respiratory viruses distribution, EW 13 2015-23

Distribución del VRS, SARS-CoV-2 y otros virus respiratorios, SE 13, 2015-23



Graph 6. Mexico: Number of ILI cases, EW 13, 2023 (compared to 2015-22)

Número de casos de ETI, SE 13 de 2023 (comparado con 2015-22)





**SUBREGION
CARIBBEAN / CARIBE**



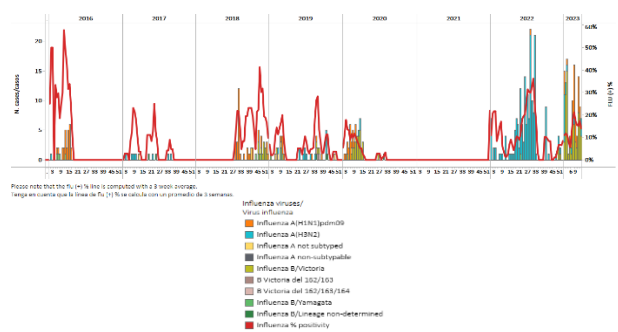
Influenza and ORV Report EW 13 2023 / Reporte de influenza y OVR SE 13 2023



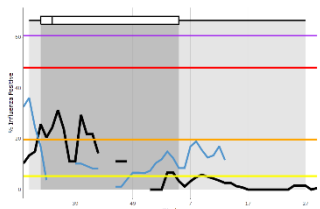
Belize / Belice

In EW 12 2023, influenza B/Victoria viruses were detected, with co-circulation of influenza A(H3N2) virus (Graph 1). Influenza activity remained at low-intensity levels (Graph 3). Nationally, Belize City has reported the most influenza cases, followed by Cayo District. Of 667 samples analyzed for SARS-CoV-2, 0.9% were positive (Graphs 2 and 4). / En la SE 13 de 2023 se detectaron virus influenza B/Victoria con la circulación concurrente del virus influenza A(H3N2) (Gráfico 1). La actividad de la influenza se mantuvo en niveles de intensidad baja (Gráfico 3). A nivel nacional la Ciudad de Belice ha notificado el mayor número de casos de influenza seguida del distrito de Cayo. De 667 muestras analizadas para SARS-CoV-2, el 0,9 % resultaron positivas (Gráficos 2 y 4).

Graph 1. Belize. Influenza virus distribution EW 13, 2016-23
Distribución de virus influenza SE 13, 2016-23

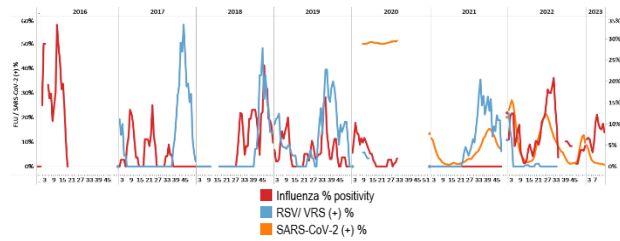


Graph 3. Belize: Percent positivity for influenza,
EW 13, 2023 (compared to 2016-22)
Porcentaje de positividad de influenza,
SE 13 de 2023 (comparado con 2016-22)



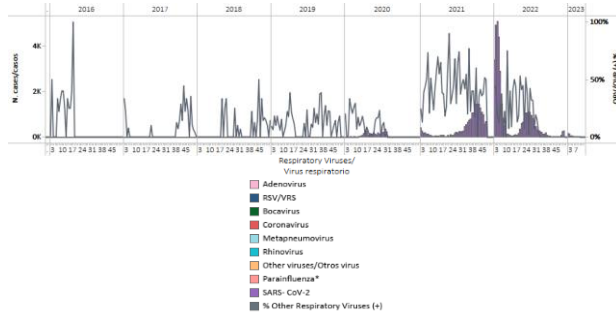
Graph 2. Belize: Influenza, RSV, and SARS-CoV-2 distribution,
EW 13, 2016-23

Distribución de virus influenza, VRS y SARS-CoV-2, SE 13, 2016-23



Graph 4. Belize: RSV, SARS-CoV-2, and other respiratory viruses
distribution, EW 13, 2016-23

Distribución de VRS, SARS-CoV-2 y otros virus respiratorios,
SE 13, 2016-23

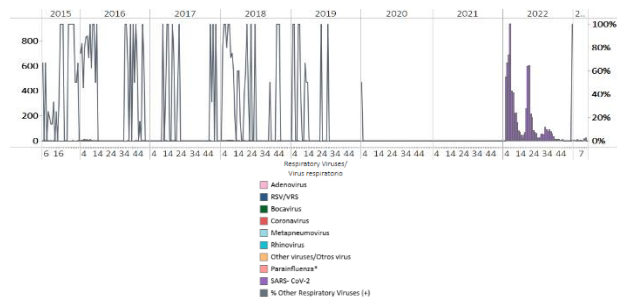
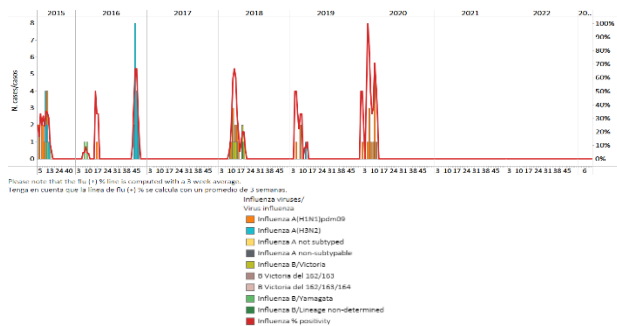




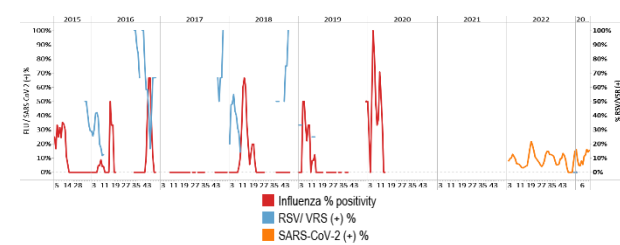
Dominica

During EW 11 2023, no samples were analyzed for influenza or other respiratory viruses (Graphs 1, 2, and 3). In addition, the number of SARI cases dropped to baseline levels (Graph 4). / Durante la SE 11 de 2023, no se analizaron muestras para influenza ni para otros virus respiratorios (Gráficos 1, 2 y 3). Además, el número de casos de IRAG disminuyó ubicándose en niveles basales (Gráfico 4).

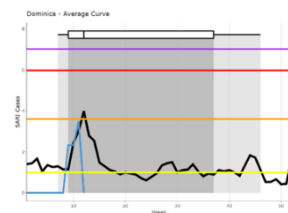
Graph 1. Dominica. Influenza virus distribution,
EW 11, 2015-22
Distribución de virus influenza, SE 11, 2015-22



Graph 2. Dominica: Influenza, RSV, and SARS-CoV-2 distribution, EW 11, 2015-22
Distribución de virus influenza, VRS y SARS-CoV-2, SE 11, 2015-22



Graph 4. Dominica: Number of SARI cases, EW 11, 2022 (compared to 2010-21)
Número de casos de IRAG, SE 11 de 2022 (comparado con 2010-21)



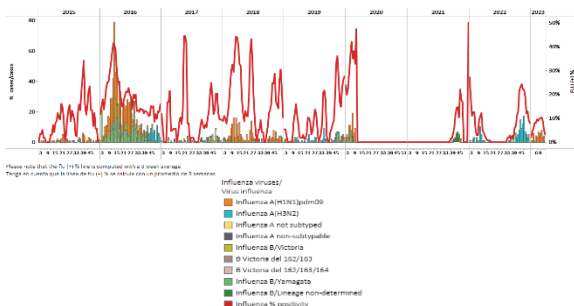


Dominican Republic / República Dominicana

During EW 13 2023, no influenza detections were reported, with influenza A(H1N1)pdm09 detections reported in previous weeks. Influenza activity remained below the average of previous years at baseline levels (Graphs 1, 2, and 3). In addition, no respiratory syncytial virus detections were registered (Graphs 2 and 4). Twelve samples were analyzed for SARS-CoV-2; none tested positive (Graph 4). SARI cases/100 hospitalizations decreased to baseline levels (Graph 5). / Durante la SE 13 de 2023, no se reportaron detecciones de influenza con el reporte de detecciones de influenza A(H1N1)pdm09 en semanas previas. La actividad de la influenza se ubicó por debajo del promedio de años previos en los niveles basales (Gráficos 1, 2 y 3). Además, no se registraron detecciones de virus respiratorio sincitial (Gráficos 2 y 4). Se analizaron 12 muestras para SARS-CoV-2 y ninguna resultó positiva (Gráfico 4). El número de casos de IRAG por cada 100 hospitalizaciones disminuyó a niveles basales (Gráfico 5).

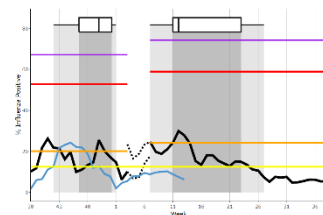
Graph 1. Dominican Republic: Influenza virus distribution, EW 13, 2015-23

Distribución del virus influenza, SE 13, 2015-23



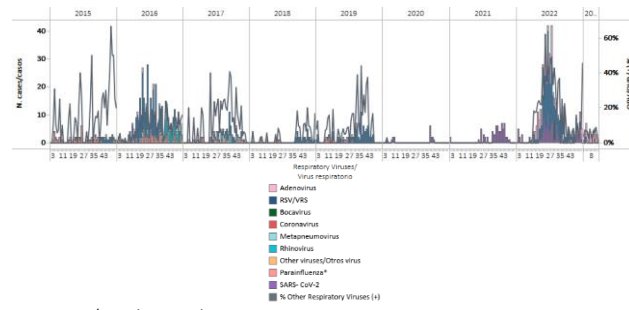
Graph 3. Dominican Republic: Percent positivity for influenza, EW 13, 2023 (compared to 2010-22)

Porcentaje de positividad de influenza, SE 13 de 2023 (comparado con 2010-22)



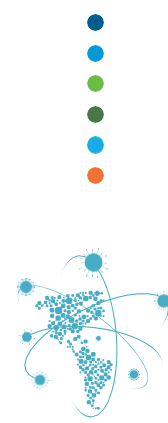
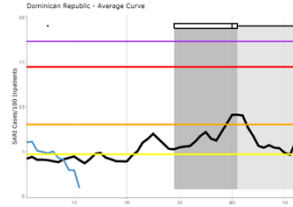
Graph 4. Dominican Republic: RSV, SARS-CoV-2, and other respiratory viruses distribution, EW 13, 2015-23

Distribución de VRS, SARS-CoV-2 y otros virus respiratorios, SE 13, 2015-23



Graph 5. Dominican Republic: SARI cases/100 hospitalizations, EW 11, 2023 (compared to 2018-22)

Casos de IRAG por cada 100 hospitalizaciones, SE 11 de 2023 (comparado con 2018-22)





French Territories / Territorios franceses

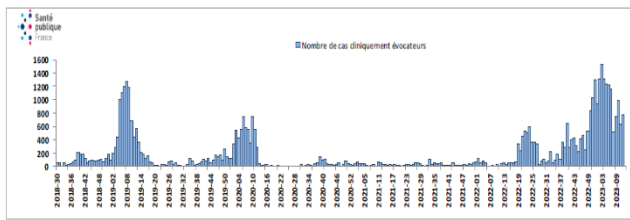
Guadeloupe: In EW 13, ILI consultations remained elevated compared to previous years (Graph 1). Influenza B was most frequently detected. Influenza percent positivity increased compared to EW 12. **Martinique:** During EW 13, ILI consultations remained increased for the second week compared to the previously reported (Graph 2). Influenza B (subtyping not performed) predominated; percent positivity decreased slightly compared to the previous week. **Saint-Martin:** As of EW 13, influenza-like illness consultations remained elevated, although at lower levels than the peak in EW 3 (Graph 3). **Saint-Barthelemy:** A downward trend in consultations for influenza-like illness was observed, with minimal ILI cases recorded recently (Graph 4). / **Guadalupe:** en la SE 13, las consultas por ETI se mantuvieron elevadas en comparación con años previos (Gráfico 1). Los virus de la influenza B fueron más frecuentemente detectados. El porcentaje de positividad de influenza aumentó en comparación con la SE 12. **Martinica:** durante la SE 13, el número de consultas por ETI se mantuvo aumentado por segunda semana en comparación con lo informado previamente (Gráfico 2). Predominaron los virus influenza B (subtipo indeterminado); el porcentaje de positividad disminuyó ligeramente en comparación con la semana previa. **San Martín:** en la SE 13 el número de consultas por enfermedad tipo influenza se mantuvo elevado, aunque en niveles más bajos que el pico de la SE 3 (Gráfico 3). **San Bartolomé:** se observó una tendencia a la baja en el número de consultas por enfermedades tipo influenza, con un número mínimo de casos de ETI registrados recientemente (Gráfico 4).

Graph 1. Guadeloupe: Estimated number of ILI consultations,

July 2018 - April 2023

Número estimado de consultas por ETI,

Julio de 2018 – abril de 2023

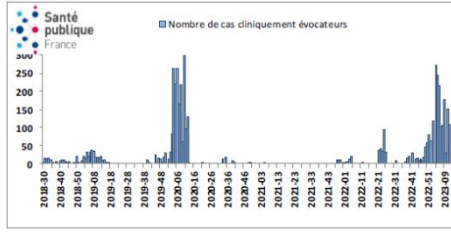


Graph 3. Saint-Martin: Estimated number of ILI consultations,

July 2018 – April 2023

Número estimado de consultas por ETI,

Julio de 2018 – abril de 2023

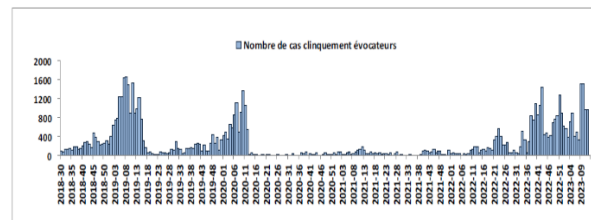


Graph 2. Martinique: Estimated number of ILI consultations,

July 2018 – April 2023

Número estimado de consultas por ETI,

Julio de 2018 – abril de 2023

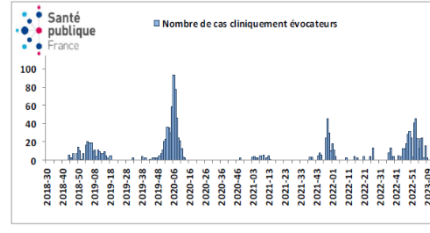


Graph 4. Saint-Barthelemy: Estimated number of ILI consultations,

July 2018 – April 2023

Número estimado de consultas por ETI,

Julio de 2018 – abril de 2023



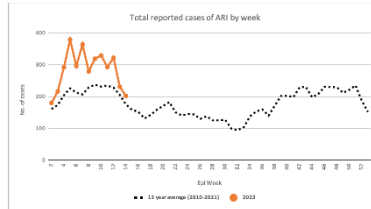


Grenada / Granada

During 2023, the number of ARI cases fluctuated and decreased, remaining above the average of the previous 13 years (2010-22) (Graph 1). In EW 13, 203 ARI cases were registered, and 62.1% were female. Most cases were among those 1-4 years (Graph 2) and resided in St. George. / Durante el 2023, el número de casos de IRA ha fluctuado, con tendencia a la disminución, manteniéndose por encima del promedio de los 13 años previos (2010-22) (Gráfico 1). En la SE 13 se registraron 203 casos de IRA, siendo el 62,1 % del sexo femenino. La mayoría de los casos tenían entre 1 y 4 años (Gráfico 2) y residían en St. George.

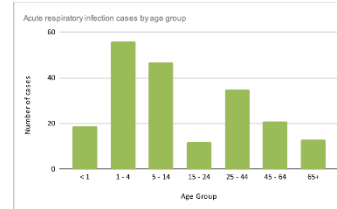
Graph 1. Grenada: Total number of ARI cases, EW 13 2023
(compared to 2010-22)

Número total de casos de IRA, SE 13 de 2023
(comparado con 2010-22)



Graph 2. Grenada: Total number of ARI cases by age group, EW 13 2023

Número total de casos de IRA por grupo de edad,
SE 13 de 2023



Source / fuente: Weekly Communicable Disease Surveillance Report 2023. Epidemiological week #13. Ministry of Health, Wellness, and Religious Affairs Grenada

Informe Semanal de Vigilancia de Enfermedades Transmisibles 2023. Semana epidemiológica #13. Ministerio de Salud, Bienestar y Asuntos Religiosos Granada

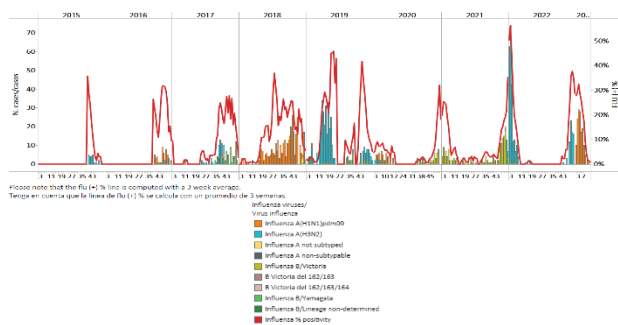




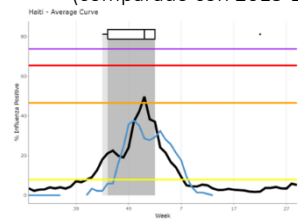
Haiti / Haïti

During EW 12 2023, no influenza detections were recorded, with the influenza A(H1N1)pdm09 virus circulating in previous weeks. Influenza activity fell in the past weeks to baseline levels (Graphs 1, 2, and 3). Among 94 specimens tested for SARS-CoV-2, one tested positive (Graphs 2 and 4). Severe acute respiratory infections decreased and were at the epidemic threshold (Graph 5). / Durante la SE 12 de 2023 no se registraron detecciones de influenza, con circulación de influenza A(H1N1)pdm09 en semanas previas. La actividad de la influenza cayó en las últimas semanas a los niveles basales (Gráficos 1, 2 y 3). De 94 muestras analizadas para SARS-CoV-2, una resultó positiva (Gráficos 2 y 4). El número de infecciones respiratorias agudas graves disminuyó y se ubicó en el umbral epidémico (Gráfico 5).

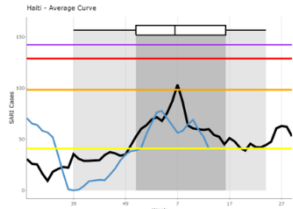
Graph 1. Haiti: Influenza virus distribution EW 12, 2015-23
Distribución de virus influenza SE 12, 2015-23



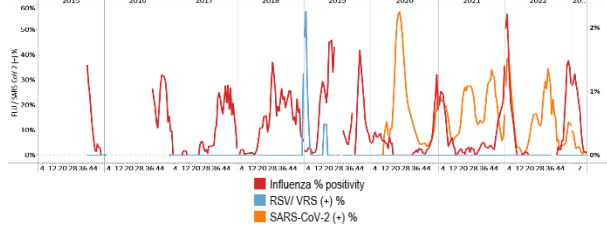
Graph 3. Haiti: Percent positivity for influenza, EW 12, 2023
(compared to 2015-22)
Porcentaje de positividad de influenza, SE 12 de 2023
(comparado con 2015-22)



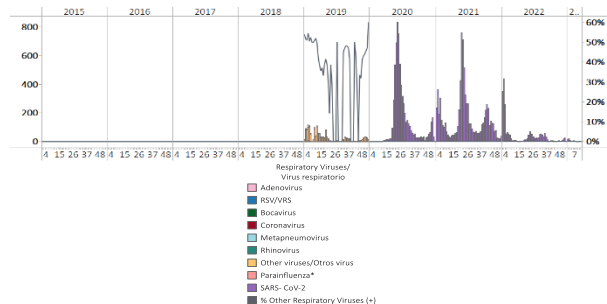
Graph 4. Haiti: Number of SARI cases, EW 12, 2023
(compared to 2017-22)
Número de casos de IRAG, SE 12 de 2023
(comparado con 2017-22)



Graph 2. Haiti: Influenza, RSV, and SARS-CoV-2 distribution,
EW 12, 2015-23
Distribución de los virus influenza, VRS y SARS-CoV-2,
SE 12, 2015-23



Graph 4. Haiti: RSV, SARS-CoV-2, and other respiratory viruses
distribution, EW 12, 2019-23
Distribución del VRS, SARS-CoV-2 y otros virus, SE 12, 2019-23



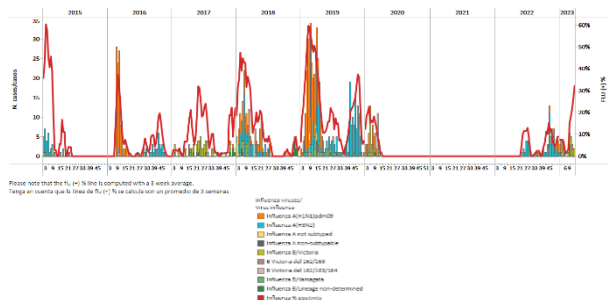


Jamaica

In EW 13 2023, minimal influenza B/Victoria detections were reported. No RSV detections were recorded (Graphs 1 and 2). Influenza activity decreased and was at the epidemic threshold (Graph 3). Of 19 samples analyzed for SARS-CoV-2, none tested positive (Graph 2). Furthermore, SARI cases / 100 hospitalizations continued to increase with activity at low levels (Graph 4). Most SARI cases were 15-49 years old. In contrast, pneumonia cases remained stable at moderate levels (Graph 5). The largest proportion of SARI cases resided in Clarendon and St. Thomas. Acute respiratory infections activity increased above the average of previous years at moderate levels (Graph 6). The largest proportion of ARI cases was among those five to 59 years. / En la SE 13 de 2023, se informaron detecciones mínimas de influenza B linaje Victoria. No se registraron detecciones de VRS (Gráficos 1 y 2). La actividad del virus de la influenza disminuyó y se ubicó en el umbral epidémico (Gráfico 3). De 19 muestras analizadas para SARS-CoV-2, ninguna resultó positiva (Gráfico 2). Además, el número de casos de IRAG por cada 100 hospitalizaciones continuó aumentando con una actividad en niveles bajos (Gráfico 4). La mayoría de los casos de IRAG tenían entre 15 y 49 años. En contraste, el número de casos de neumonía se mantuvo estable en niveles de actividad moderados (Gráfico 5). La mayor proporción de casos de IRAG residía en Clarendon y St. Thomas. La actividad de las infecciones respiratorias agudas aumentó por encima del promedio de años previos ubicándose en niveles de actividad moderados (Gráfico 6). La mayor proporción de casos de IRA estuvo en el grupo de cinco a 59 años.

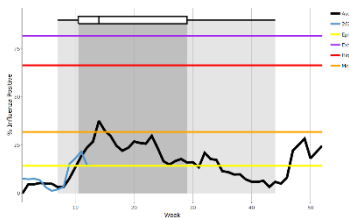
Graph 1. Jamaica: Influenza virus distribution
EW 13, 2015-23

Distribución de virus influenza SE 13, 2015-23



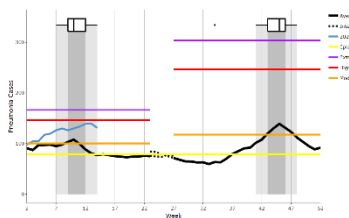
Graph 3. Jamaica: Percent positivity for influenza, EW 13, 2023
(compared to 2010-22)

Porcentaje de positividad de influenza, SE 13 de 2023
(comparado con 2010-22)



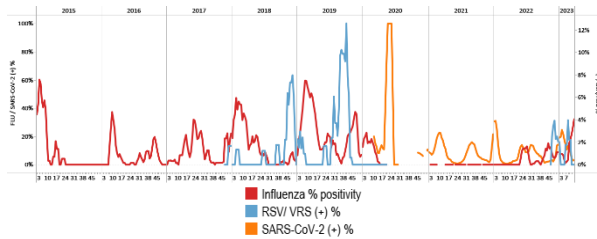
Graph 5. Jamaica: Number of pneumonia cases, EW 13, 2023
(compared to 2014-22)

Número de casos de neumonía, SE 13, 2023
(comparado con 2014-22)



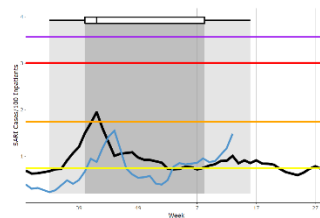
Graph 2. Jamaica: Influenza, RSV, and SARS-CoV-2 distribution,
EW 13, 2015-23

Distribución de los virus influenza, VRS y SARS-CoV-2, SE 13, 2015-23



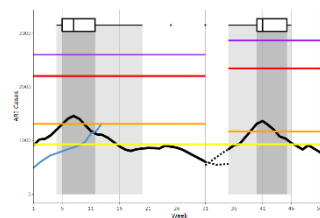
Graph 4. Jamaica: SARI cases/100 hospitalizations,
EW 13, 2023 (compared to 2011-22)

Casos de IRAG/100 hospitalizaciones, SE 13 de 2023
(comparado con 2011-22)



Graph 6. Jamaica: Number of ARI cases, EW 13, 2023
(compared to 2011-22)

Número de casos de IRA, SE 13 de 2023
(comparado con 2011-22)





2

3

4

5

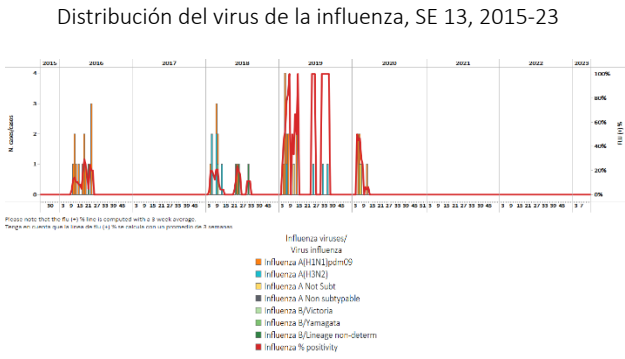
6

7

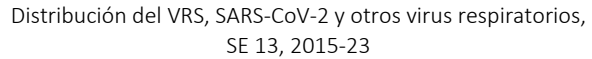
Saint Lucia / Santa Lucía

During EW 13 2023, no influenza or respiratory syncytial virus samples were reported. Of 258 samples analyzed for SARS-CoV-2, 11 (4.3%) tested positive, remaining stable compared to previous weeks (Graphs 1, 2, and 3). Influenza-like illness (ILI) cases among children under five increased above the seasonal threshold, slightly below the alert threshold (Graph 4); most cases were recorded in Canaries, Dennery, and Micoud. Similarly, ILI cases among persons five and older increased and were above the alert threshold (Graph 5). Choiseul and Dennery reported the highest proportions. Severe acute respiratory infection cases / 100 hospitalizations increased and were just below the moderate activity threshold (Graph 6). One SARI case was recorded and sampled and tested negative for the analyzed viruses; it was 6-11 months. / Durante la SE 13 de 2023, no se reportaron muestras de influenza ni de virus respiratorio sincitial. De 258 muestras analizadas para SARS-CoV-2, 11 (4,3 %) resultaron positivas; su actividad se mantuvo estable en comparación con las semanas previas (Gráficos 1, 2 y 3). El número de casos de enfermedad tipo influenza (ETI) en los niños menores de cinco años aumentó por encima del umbral estacional, ligeramente por debajo del umbral de alerta (Gráfico 4); la mayoría de los casos se registraron en Canaries, Dennery y Micoud. De igual manera, el número de casos de ETI en personas de cinco años y mayores aumentó y se ubicó por encima del umbral de alerta (Gráfico 5). Choiseul y Dennery reportaron las proporciones más altas. El número de casos de infección respiratoria aguda grave por cada 100 hospitalizaciones aumentó y se ubicó justo por debajo del umbral de actividad moderada (Gráfico 6). Se registró un caso de IRAG al cual se le tomó muestra con resultado negativo para los virus analizados; tenía entre 6 y 11 meses.

Graph 1. Saint Lucia: Influenza virus distribution, EW 13, 2015-23

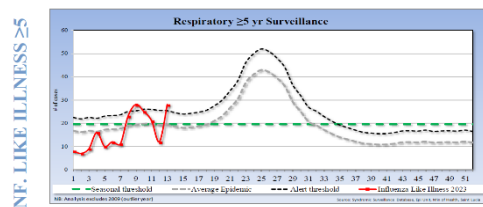


Graph 3. Saint Lucia: RSV, SARS-CoV-2, and other respiratory viruses distribution, EW 13, 2015-23

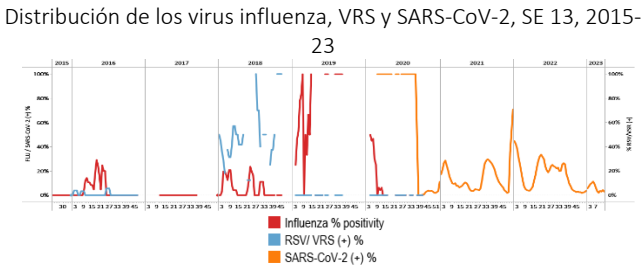


Graph 5. Saint Lucia: ILI case distribution among the ≥ 5 years of age, EW 13, 2023 (compared to 2016-22)

Número de casos de ETI en los ≥ 5 años, SE 13, 2023
(comparado con 2016-22)

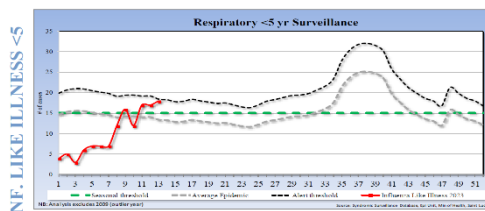


Graph 2. Saint Lucia: Influenza, RSV, and SARS-CoV-2 virus distribution, EW 13, 2015-23



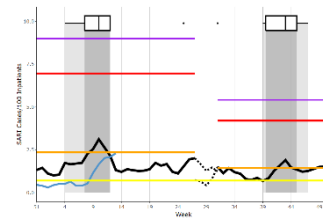
Graph 4. Saint Lucia: ILI case distribution among the < 5 years of age, EW 13, 2023 (compared to 2016-22)

Distribución de ETI entre los <5 años, SE 13, 2023
(comparado con 2016-22)



Graph 6. Saint Lucia: SARI cases/100 hospitalizations, EW 13, 2023 (compared to 2016-22)

Casos de IRAG por cada 100 hospitalizaciones, SE 13 de 2023 (comparado con 2016-22)

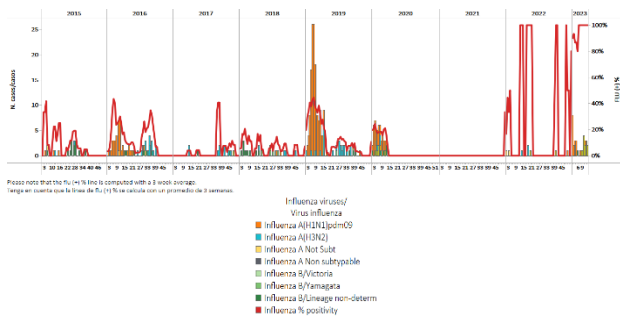




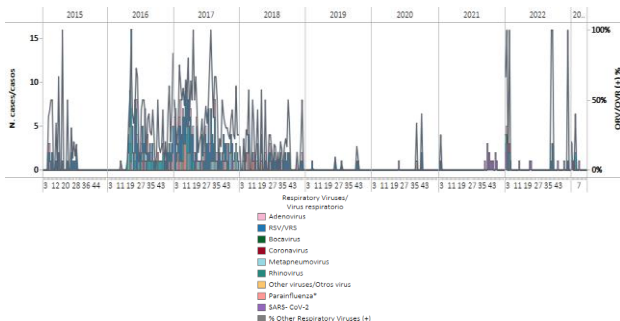
Suriname

During EW 13 2023, minimal influenza B/Victoria detections were reported. No RSV detections were informed. Seven samples were analyzed for SARS-CoV-2, and none tested positive (Graphs 1, 2, and 3). SARI cases / 100 hospitalizations have remained at moderate-intensity levels (Graph 4). Of six SARI cases sampled, two tested positive for influenza. / Durante la SE 13 de 2023, se reportaron pocas detecciones de influenza B linaje Victoria. No se reportaron detecciones de VRS. Se analizaron siete muestras para SARS-CoV-2 y ninguna resultó positiva (Gráficos 1, 2 y 3). El número de casos de IRAG por cada 100 hospitalizaciones se ha mantenido en niveles de intensidad moderada (Gráfico 4). De seis casos de IRAG con muestra, dos resultaron positivos para influenza.

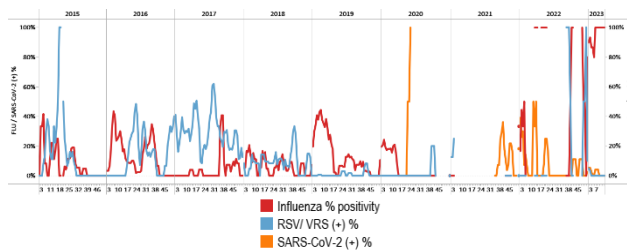
Graph 1. Suriname: Influenza virus distribution,
EW 13, 2015-23
Distribución de virus influenza, SE 13, 2015-23



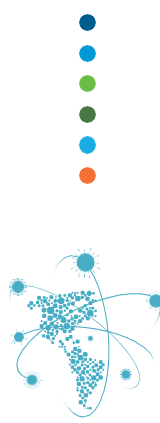
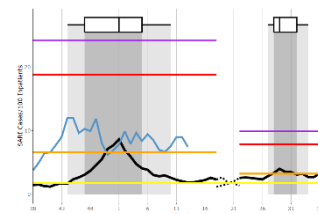
Graph 3. Suriname: RSV, SARS-CoV-2, and other respiratory viruses distribution, EW 13, 2015-23
Distribución del VRS, SARS-CoV-2 y otros virus respiratorios, SE 13, 2015-23



Graph 2. Suriname: Influenza, RSV, and SARS-CoV-2 distribution,
EW 13, 2015-23
Distribución de los virus influenza, VRS y SARS-CoV-2,
SE 13, 2015 -23



Graph 4. Suriname: SARI cases/100 hospitalizations, EW 13, 2023
(compared to 2013-22)
Casos de IRAG por cada 100 hospitalizaciones, SE 13, 2023
(comparado con 2013-22)





**SUBREGION
CENTRAL AMERICA / AMÉRICA CENTRAL**





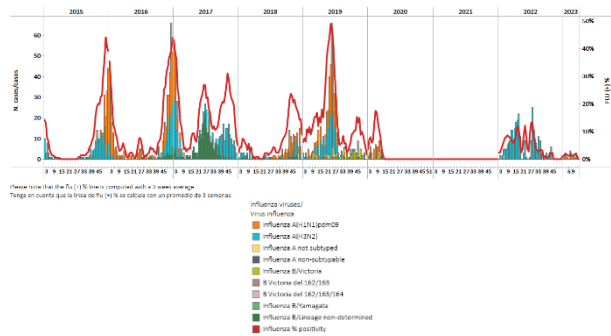
Costa Rica

During EW 13 2023, no influenza detections were registered. Influenza A(H1N1) was reported in previous weeks. No RSV detections were reported (Graphs 1, 2, and 3). Two samples analyzed for SARS-CoV-2 tested positive (Graphs 2 and 4), and percent positivity increased compared to the previously registered. SARI cases decreased to baseline activity levels (Graph 5).

/ Durante la SE 13 de 2023 no se registraron detecciones de influenza. Se reportó influenza A(H1N1) en semanas previas. No se reportaron detecciones de VRS (Gráficos 1, 2 y 3). Dos muestras analizadas para SARS-CoV-2 resultaron positivas (Gráficos 2 y 4), con un aumento del porcentaje de positividad en comparación con el registro previo. El número de casos de IRAG disminuyó a los niveles de actividad basales (Gráfico 5).

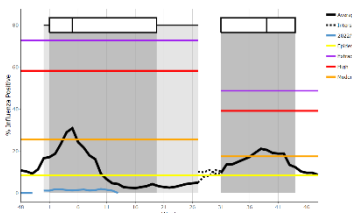
Graph 1. Costa Rica: Influenza virus distribution, EW 13, 2015-23

Distribución de virus influenza por SE 13, 2015-23



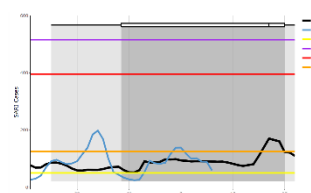
Graph 3. Costa Rica: Percent positivity for influenza, EW 13, 2023 (compared to 2011-22)

Porcentaje de positividad de influenza, SE 13 de 2023 (comparado con 2011-22)



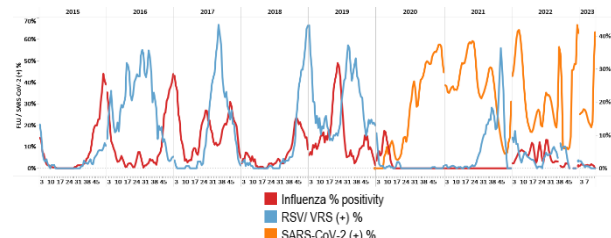
Graph 5. Costa Rica: Number of SARI cases, EW 13, 2023 (compared to 2013-22)

Número de casos de IRAG, SE 13 de 2023 (comparado con 2013-22)



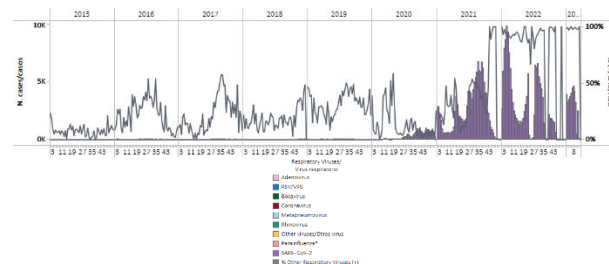
Graph 2. Costa Rica: Influenza, RSV, and SARS-CoV-2 distribution, EW 13, 2015-23

Distribución de los virus influenza, VRS y SARS-CoV-2, SE 13, 2015-23



Graph 4. Costa Rica: RSV,SARS-CoV-2, and other respiratory viruses distribution, EW 13 2015-23

Distribución del VRS, SARS-CoV-2 y otros virus respiratorios, SE 13, 2015-23



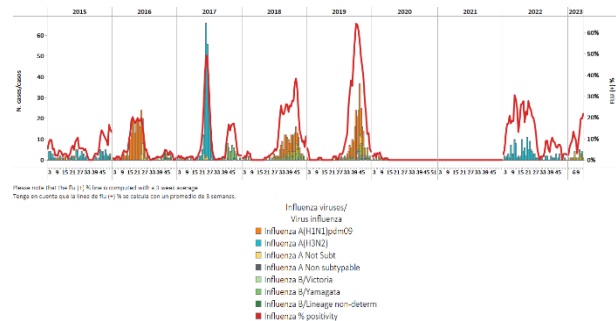


El Salvador

As of EW 13, few detections were reported for influenza B/Victoria virus. Influenza activity remained elevated at moderate-intensity levels (Graphs 1, 2, and 3). No respiratory syncytial virus detections were reported; adenovirus and parainfluenza virus detections were recorded during the reporting period. Five samples were analyzed for SARS-CoV-2; none tested positive (Graph 4). SARI cases / 100 hospitalizations increased and were slightly above the epidemic threshold at low activity levels(Graph 5). / En la SE 13, se reportaron pocas detecciones del virus influenza B/Victoria. La actividad del virus de la influenza se mantuvo elevada en niveles de intensidad moderada (Gráficos 1, 2 y 3). No se informaron detecciones de virus respiratorio sincitial; se registraron detecciones de los virus adenovirus y parainfluenza durante el período del informe. Se analizaron cinco muestras para SARS-CoV-2; ninguna resultó positiva (Gráfico 4). El número de casos de IRAG por cada 100 hospitalizaciones aumentó y se ubicó levemente por encima del umbral epidémico en niveles de actividad bajos (Gráfico 5).

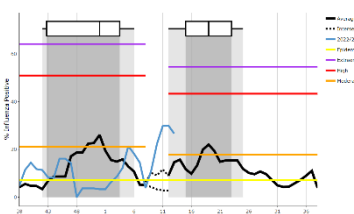
Graph 1. El Salvador: Influenza virus distribution, EW 13, 2015-23

Distribución de virus influenza, SE 13, 2015-23



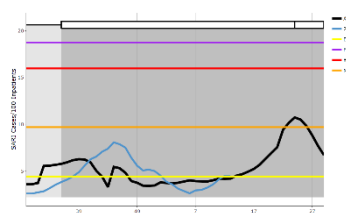
Graph 3. El Salvador: Percent positivity for influenza, EW 13, 2023 (compared to 2010-22)

Porcentaje de positividad de influenza, SE 13 de 2023 (comparación 2010-22)



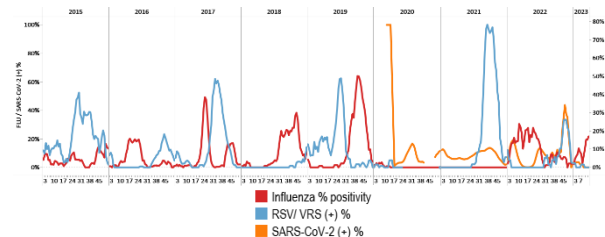
Graph 5. El Salvador: Number of SARI cases / 100 inpatients EW 13, 2023 (compared to 2016-2022)

Número de casos de IRAG / 100 hospitalizaciones, SE 13 de 2023 (comparado con 2016-22)



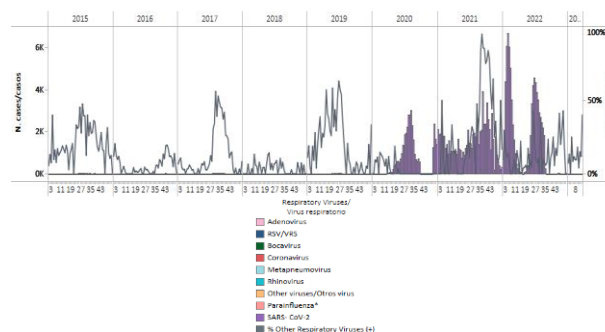
Graph 2. El Salvador: Influenza, RSV, and SARS-CoV-2 distribution, EW 13, 2015-23

Distribución de los virus influenza, VRS y SARS-CoV-2, SE 13, 2015-23



Graph 4. El Salvador: RSV, SARS-CoV-2, and other respiratory viruses distribution, EW 13, 2015-23

Distribución del VRS, SARS-CoV-2 y otros virus respiratorios, SE 13, 2015-23

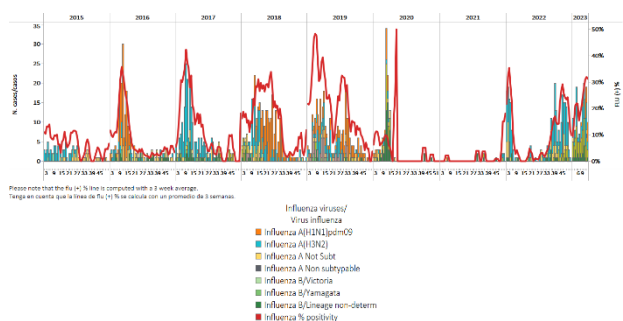




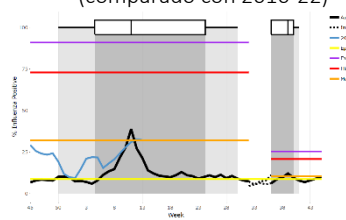
Guatemala

During EW 13 2023, influenza A viruses predominated; all seasonal influenza subtypes were reported. Since EW 6, influenza activity has shown an increasing trend at moderate-intensity levels. Respiratory syncytial virus detections were recorded at sentinel sites with activity remaining stable compared to the previous recorded; rhinovirus, parainfluenza, and coronavirus were co-circulated during the reporting period. Among 890 samples analyzed for SARS-CoV-2, 22 tested positive (2.5%), remaining stable compared to previous weeks (Graphs 1, 2, 3, and 4). Influenza-like illness/1000 outpatients stayed unchanged and were at low-intensity levels (Graph 5); in contrast, severe acute respiratory infections/100 hospitalizations increased at the average of previous years at low levels (Graph 6). / Durante la SE 13 de 2023 predominaron los virus influenza A; todos los subtipos de la influenza estacional circularon concurrentemente. Desde la SE 6, la actividad de la influenza ha mostrado una tendencia creciente con niveles de intensidad moderada. En los sitios centinela se registraron detecciones del virus respiratorio sincitial cuya actividad se mantuvo estable en comparación con el registro previo; el rinovirus, parainfluenza y coronavirus circularon simultáneamente durante el período reportado. De 890 muestras analizadas para SARS-CoV-2, 22 resultaron positivas (2,5 %), manteniéndose estable en comparación con las semanas previas (Gráficos 1, 2, 3 y 4). El número de visitas por enfermedad tipo influenza por cada 1000 pacientes ambulatorios se mantuvo sin cambios y se ubicó en niveles de baja intensidad (Gráfico 5); en cambio, el número de infecciones respiratorias agudas graves por cada 100 hospitalizaciones aumentó ubicándose en el promedio de años anteriores en niveles de actividad bajos (Gráfico 6).

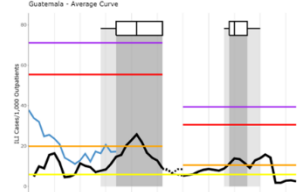
Graph 1. Guatemala: Influenza virus distribution, EW 13, 2015-23
Distribución de influenza, SE 13, 2015-23



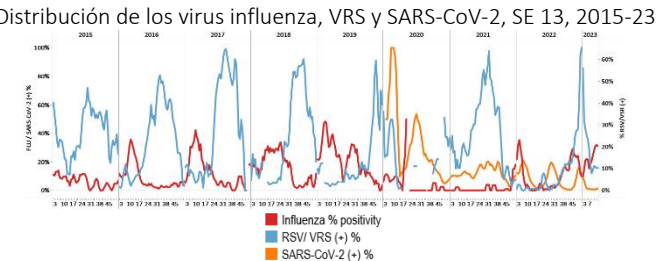
Graph 3. Guatemala: Percentage positivity for influenza, EW 13, 2023 (compared to 2010-22)
Porcentaje de positividad de influenza, SE 13 de 2023 (comparado con 2010-22)



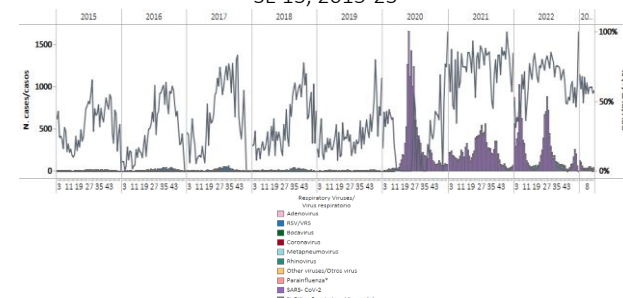
Graph 5. Guatemala: ILI cases/1000 outpatients, EW 11, 2023 (compared to 2015-22)
Casos de ETI por cada 1000 consultas ambulatorias, SE 11 de 2023 (comparado con 2015-22)



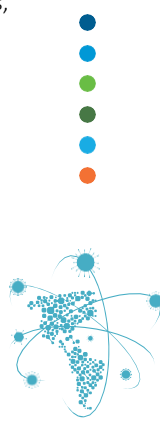
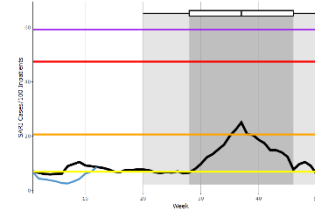
Graph 2. Guatemala: Influenza, RSV, and SARS-CoV-2 distribution, EW 13, 2015-23
Distribución de los virus influenza, VRS y SARS-CoV-2, SE 13, 2015-23



Graph 4. Guatemala: RSV, SARS-CoV-2, and other respiratory viruses distribution, EW 13, 2015-23
Distribución del VRS, SARS-CoV-2 y otros virus respiratorios, SE 13, 2015-23



Graph 6. Guatemala: Number of SARI cases / 100 inpatients, EW 11, 2023 (compared to 2017-22)
Número de casos de IRAG / 100 hospitalizaciones, SE 11 de 2023 (comparado con 2017-22)

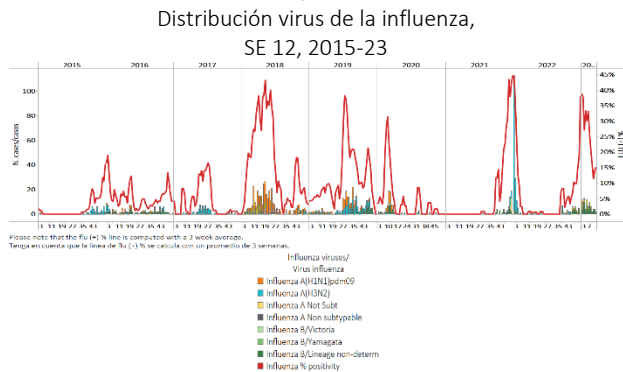




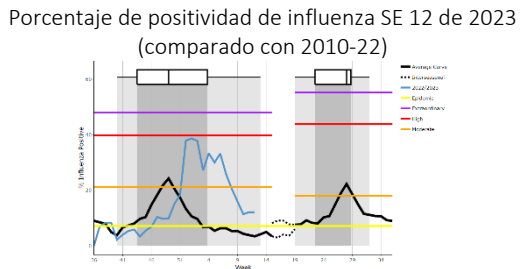
Honduras

In EW 12 2023, influenza B (lineage undetermined) detections were reported. After seven weeks at moderate-intensity level, Influenza activity decreased to low levels. No RSV detections were registered (Graphs 1, 2, and 3). At the national level, no samples were analyzed for SARS-CoV-2 (Graphs 2 and 4). Severe acute respiratory infections remained below the epidemic levels; similarly, influenza-like illness was below the average of prior years at baseline levels (Graphs 5 and 6). / En la SE 12 de 2023, se reportaron detecciones de influenza B (linaje indeterminado). Después de siete semanas en niveles de intensidad moderados, la actividad de la influenza disminuyó a niveles bajos. No se registraron detecciones de VRS (Gráficos 1, 2 y 3). A nivel nacional, no se analizaron muestras para SARS-CoV-2 (Gráficos 2 y 4). El número de casos de infecciones respiratorias agudas graves permaneció por debajo de los niveles epidémicos; de manera similar, el número de casos de enfermedad tipo influenza estuvo por debajo del promedio de años previos en los niveles basales (Gráficos 5 y 6).

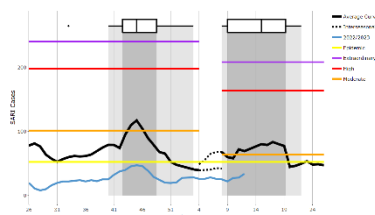
Graph 1. Honduras: Influenza virus distribution, EW 12, 2015-23



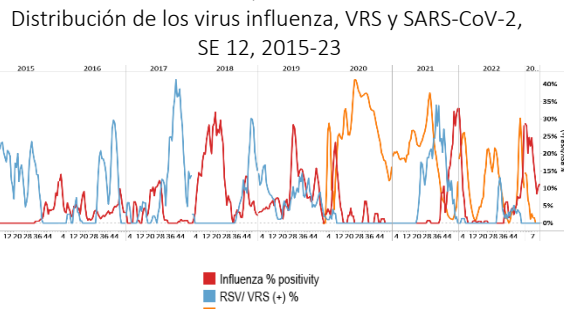
Graph 3. Honduras: Percent positivity for influenza, EW 12, 2023 (compared to 2010-22)



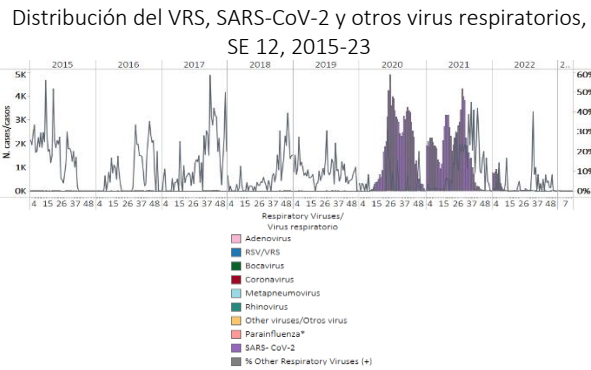
Graph 5. Honduras: SARI cases, from sentinel surveillance, EW 12, 2023 (compared to 2010-22)
Casos de IRAG de la vigilancia centinela, SE 12 de 2023 (comparado con 2010-22)



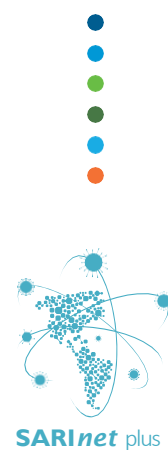
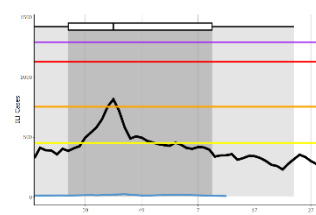
Graph 2. Honduras: Influenza, RSV, and SARS-CoV-2 distribution, EW 12, 2015-23



Graph 4. Honduras: RSV, SARS-CoV-2, and other respiratory virus distribution, EW 12, 2015-23



Graph 6. Honduras: ILI cases, from sentinel surveillance, EW 12, 2023 (compared to 2010-22)
Casos de ETI de la vigilancia centinela, SE 12 de 2023 (comparado con 2010-22)





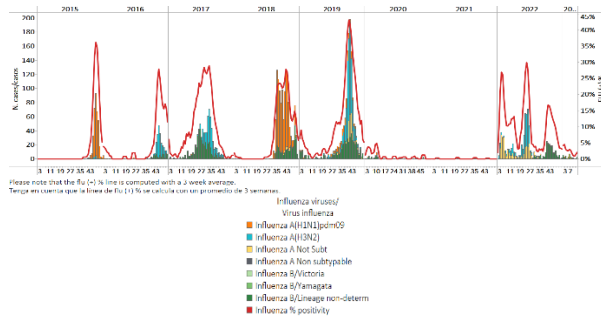
Nicaragua

During EW 12 2023, influenza B (lineage undetermined) detections were reported. Influenza activity remained at baseline levels. No respiratory syncytial virus detections were registered during the reporting period (Graphs 1, 2, and 3). SARS-CoV-2 percent positivity remained at very low levels (Graphs 2 and 4). Of 696 samples analyzed for SARS-CoV-2, 0.7% tested positive.

/ Durante la SE 12 de 2023, se reportaron detecciones del virus influenza B (linaje indeterminado). La actividad de la influenza se mantuvo en niveles basales. No se registraron detecciones de virus respiratorio sincitial durante el período de reporte (Gráficos 1, 2 y 3). El porcentaje de positividad de SARS-CoV-2 permaneció en niveles muy bajos (Gráficos 2 y 4). De 696 muestras analizadas para SARS-CoV-2, el 0,7 % resultaron positivas.

Graph 1. Nicaragua: Influenza virus distribution,
EW 12, 2015-23

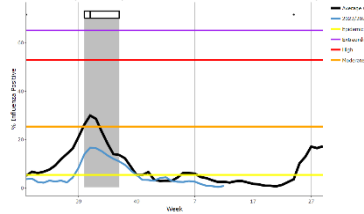
Distribución de influenza, SE 12, 2015-23



Graph 3. Nicaragua: Percent positivity for influenza,
EW 12, 2023 (compared to 2010-22)

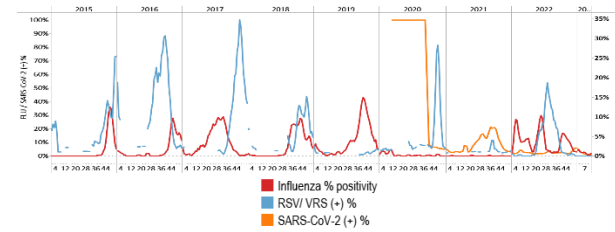
Porcentaje de positividad, SE 12 de 2023

(comparado con 2010-22)



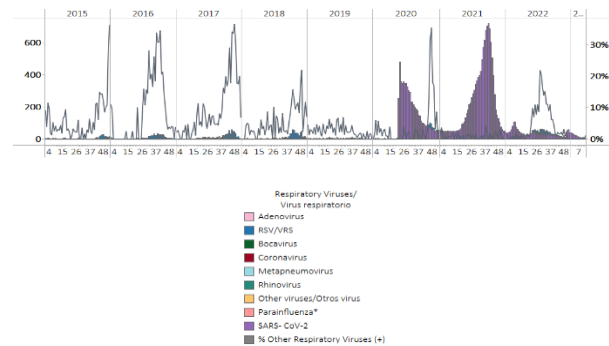
Graph 2. Nicaragua: Influenza, RSV, and SARS-CoV-2 distribution,
EW 12, 2015-23

Distribución de los virus influenza, VRS y SARS-CoV-2, SE 12, 2015-23



Graph 4. Nicaragua: RSV and other respiratory virus distribution,
EW 12, 2015-23

Distribución del VRS y otros virus respiratorios, SE 12, 2015-23



2

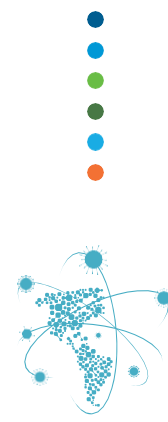
3

4

5

6

7



Influenza and ORV Report EW 13 2023 / Reporte de influenza y OVR SE 13 2023

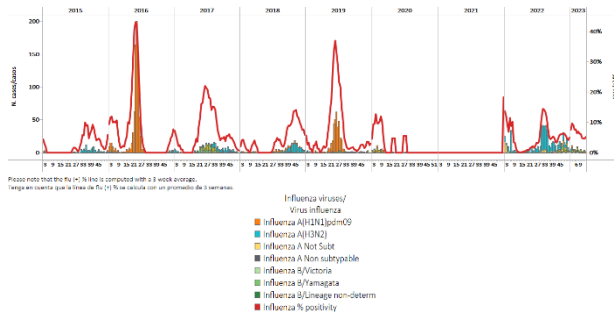


Panama / Panamá

During EW 13 2023, a few A(H1N1)pdm09 detections were recorded. Influenza activity remained at baseline levels. A single respiratory syncytial virus detection was reported, with low activity (Graphs 1, 2, 3, and 4). During the reporting period, the circulation of the rhinovirus, parainfluenza, adenovirus, and coronavirus was recorded at lower levels than in previous weeks. Among 139 samples analyzed for SARS-CoV-2, 16 (11.5%) tested positive, an increase compared to the previously registered (Graphs 2 and 4). / Durante la SE 13 de 2023, se registraron algunas detecciones de A(H1N1)pdm09. La actividad del virus de la influenza se mantuvo en los niveles basales. Se reportó una sola detección de virus respiratorio sincitrial, con baja actividad (Gráficos 1, 2, 3 y 4). Durante el período que se informa, la circulación del rinovirus, parainfluenza, adenovirus y coronavirus se registró en niveles más bajos que en semanas previas. De 139 muestras analizadas para SARS-CoV-2, 16 (11,5%) resultaron positivas, un aumento en comparación con el registro previo (Gráficos 2 y 4).

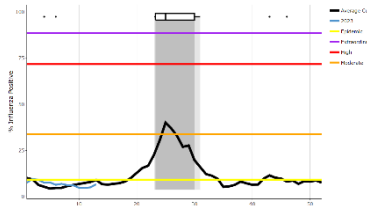
Graph 1. Panama: Influenza virus distribution,
EW 13, 2015-23

Distribución virus de influenza,
SE 13, 2015-23



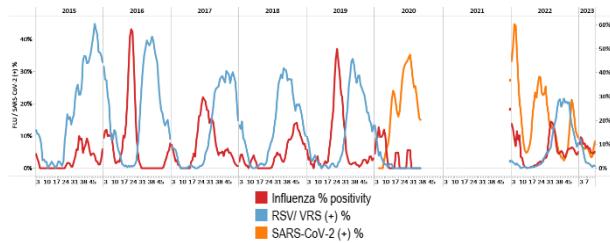
Graph 3. Panama: Percent positivity for influenza, from sentinel surveillance, EW 13, 2023 (compared to 2010-22)

Porcentaje de positividad de influenza, de la vigilancia centinela, SE 13 de 2023 (comparado con 2010-22)



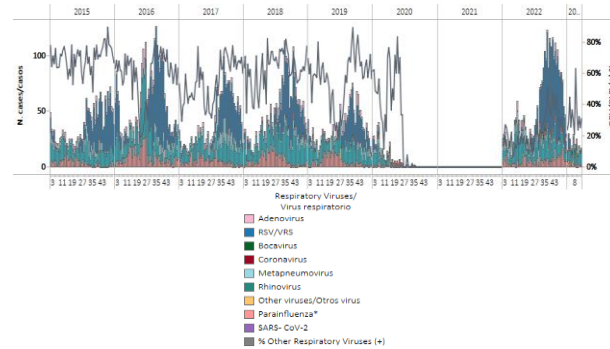
Graph 2. Panama: Influenza, RSV, and SARS-CoV-2 distribution,
EW 13, 2015-23

Distribución de los virus influenza, VRS, y SARS-CoV-2,
SE 13, 2015-23



Graph 4. Panama: RSV and other respiratory viruses distribution,
EW 13, 2015-23

Distribución del VRS y otros virus respiratorios, SE 13, 2015-23





**SUBREGION
SOUTH AMERICA / AMÉRICA DEL SUR – ANDEAN COUNTRIES / PAÍSES
ANDINOS**



33



SARInet plus

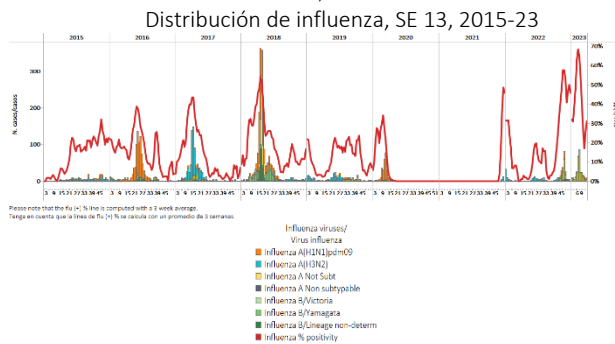
Severe Acute Respiratory Infections Network



Bolivia

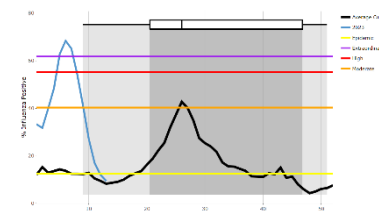
During EW 13 2023, influenza A(H1N1)pdm09 and B/Victoria viruses were detected in similar amounts (Graph 1). Influenza activity decreased to baseline levels, although above the average of previous years. Few respiratory syncytial virus detections were reported, with increased activity. In contrast, 459 samples were analyzed for SARS-CoV-2; 92.4% tested positive, remaining stable compared to the previous week (Graphs 2, 3, and 4). SARI cases / 100 hospitalizations were elevated at high levels for this time of year (Graph 5). Of 77 SARI-sampled patients, 11.7% tested positive for influenza, 2.6% were positive for SARS-CoV-2, and 1.3% were RSV-associated SARI. Most influenza-associated SARI cases were 20-59 years old. There was one SARI case among the 13 ICU admissions. / Durante la SE 13 de 2023, los virus influenza A(H1N1)pdm09 y B linaje Victoria fueron detectados en cantidades similares (Gráfico 1). La actividad gripe descendió hasta los niveles basales, aunque por encima de la media de años previos. Se informaron pocas detecciones de virus respiratorio sincitial, con una actividad incrementada. Por el contrario, se analizaron 459 muestras para SARS-CoV-2; el 92,4 % resultaron positivas, manteniéndose estable con respecto a la semana previa (Gráficos 2, 3 y 4). El número de casos de IRAG por cada 100 hospitalizaciones se elevó, ubicándose en niveles altos para esta época del año (Gráfico 5). De 77 pacientes de IRAG con muestra, el 11,7 % resultaron positivos para influenza, el 2,6 % fueron positivos para SARS-CoV-2 y el 1,3 % de los casos de IRAG estuvieron asociados con el VRS. La mayoría de los casos de IRAG asociados con la influenza tenían entre 20 y 59 años. Hubo un caso de IRAG de 13 admisiones en la UCI.

Graph 1. Bolivia: Influenza virus distribution, EW 13, 2015-23



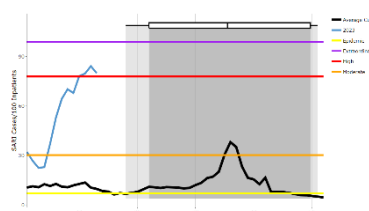
Graph 3. Bolivia: Percent positivity for influenza, from sentinel surveillance; EW 13, 2023 (compared to 2010-22)

Porcentaje de positividad de influenza de la vigilancia centinela; SE 13 de 2023 (comparado con 2010-22)

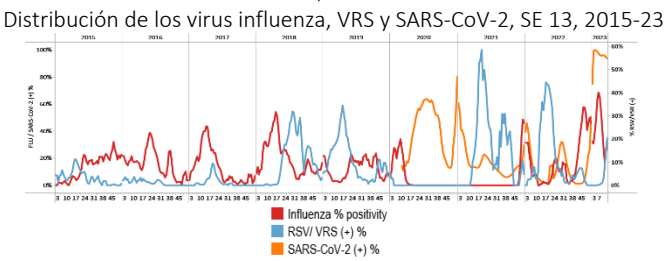


Graph 5. Bolivia: Number of SARI cases / 100 inpatients, EW 13, 2023 (compared to 2015-22)

Número de casos de IRAG / 100 hospitalizaciones, SE 13 de 2023 (comparado con 2015-22)

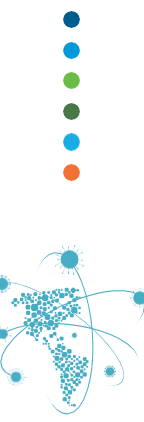
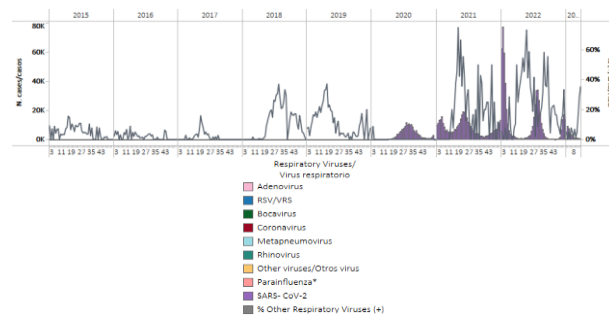


Graph 2. Bolivia: Influenza, RSV, and SARS-CoV-2 distribution, EW 13, 2015-23



Graph 4. Bolivia: RSV, SARS-CoV-2, and other respiratory viruses distribution, EW 13, 2015-23

Distribución del VRS, SARS-CoV-2 y otros virus respiratorios, SE 13, 2015-23

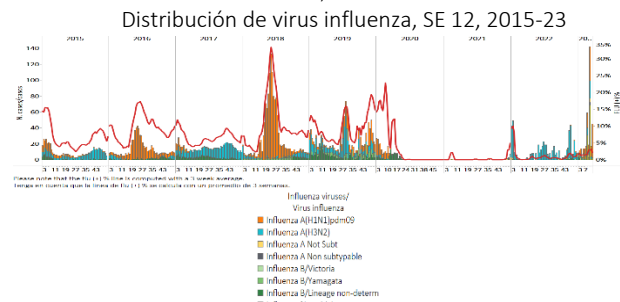




Colombia

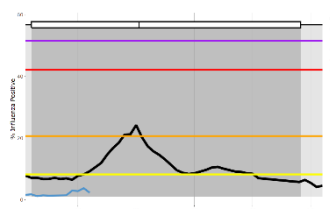
During EW 12 2023, influenza A viruses predominated; influenza A(H1N1)pdm09 and B/Victoria were co-circulated. Influenza activity has remained at baseline levels. Respiratory syncytial virus detections were recorded with percent positivity at low levels and increasing (Graphs 1, 2, and 3). Rhinovirus, parainfluenza, adenovirus, metapneumovirus, and coronavirus were co-circulated during the reporting period at lower levels than in the pre-pandemic period. Among 3312 samples analyzed for SARS-CoV-2, 4.1% tested positive, remaining stable compared to the prior registered, with lower detections than reported last week (Graphs 2 and 4). SARI cases have shown an increasing trend at low-intensity levels (Graph 5); acute respiratory infection cases continued unchanged at moderate levels (Graph 6). / Durante la SE 12 de 2023 predominaron los virus influenza A; influenza A(H1N1)pdm09 y B/Victoria circularon concurrentemente. La actividad de la influenza se ha mantenido en los niveles basales. Se registraron detecciones de virus respiratorio sincitial con un porcentaje de positividad en niveles bajos y con tendencia al aumento (Gráficos 1, 2 y 3). El rinovirus, la parainfluenza, el adenovirus, el metapneumovirus y el coronavirus circularon simultáneamente durante el período del informe a niveles más bajos que en el período previo a la pandemia. De 3312 muestras analizadas para SARS-CoV-2, el 4,1 % resultaron positivas, permaneciendo estable en comparación con el registro previo, con detecciones más bajas que las reportadas la semana pasada (Gráficos 2 y 4). El número de casos de IRAG ha mostrado una tendencia creciente ubicándose en niveles de baja intensidad (Gráfico 5); el número de casos de infecciones respiratorias agudas continuó sin cambios en niveles de actividad moderados (Gráfico 6).

Graph 1. Colombia: Influenza virus distribution, EW 12, 2015-23



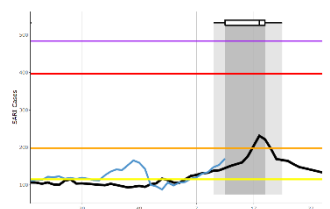
Graph 3. Colombia: Percent positivity for influenza, EW 12, 2023 (compared to 2010-22)

Porcentaje de positividad de influenza, SE 12 de 2023 (comparado con 2010-22)

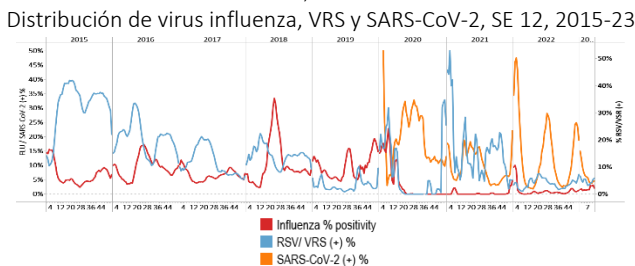


Graph 5: Colombia: SARI cases, EW 12, 2023 (compared to 2013-22)

Casos de IRAG, SE 12 de 2023 (comparado con 2013-22)

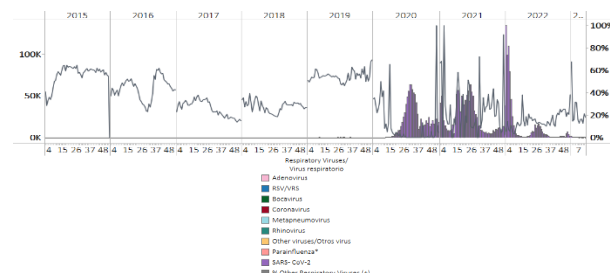


Graph 2. Colombia: Influenza, RSV and SARS-CoV-2 distribution, EW 12, 2015-23



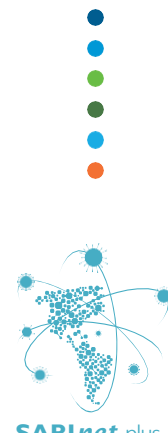
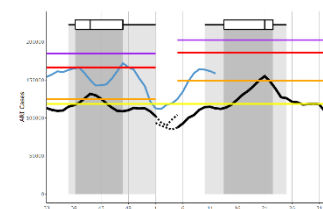
Graph 4. Colombia: RSV, SARS-CoV-2, and other respiratory virus distribution, EW 12, 2015-23

Distribución del VRS, SARS-CoV-2 y otros virus respiratorios, SE 12 2015-23



Graph 6. Colombia: Number of ARI cases EW 12, 2023 (compared to 2012-22)

Número de casos de IRA SE 12 de 2023 (comparado con 2012-22)

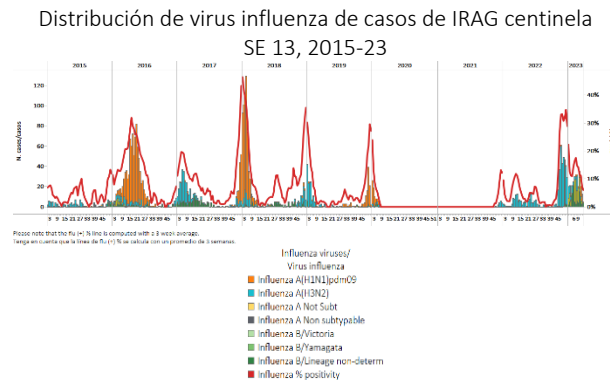




Ecuador

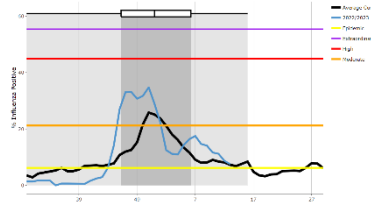
In EW 13 2023, influenza B (lineage undetermined) detections were reported, followed by A(H1N1)pdm09 virus; influenza activity has shown a decreasing trend and was at the average of previous years with low-intensity levels. Few respiratory syncytial virus detections were reported, with increasing activity (Graphs 1, 2, and 3). SARS-CoV-2 percent positivity (17.2%) increased compared to previously registered (Graphs 2 and 4). / En la SE 13 de 2023 se reportaron detecciones de influenza B (linaje indeterminado), seguidas del virus A(H1N1)pdm09; la actividad de la influenza ha mostrado una tendencia decreciente, ubicándose en el promedio de años previos con una actividad en niveles de actividad bajos. Se reportaron detecciones de virus respiratorio sincitial con una actividad creciente (Gráficos 1, 2 y 3). El porcentaje de positividad del SARS-CoV-2 (17,2 %) aumentó en comparación con el registrado previamente (Gráficos 2 y 4).

Graph 1. Ecuador: Influenza virus distribution from SARI sentinel cases, EW 13, 2015-23



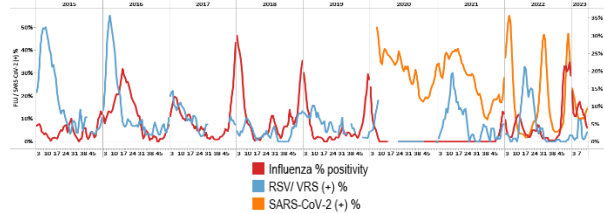
Graph 3. Ecuador: Percent positivity for influenza, EW 13, 2023 (compared to 2011-22)

Porcentaje de positividad de influenza, SE 13 de 2023 (comparado con 2011-22)



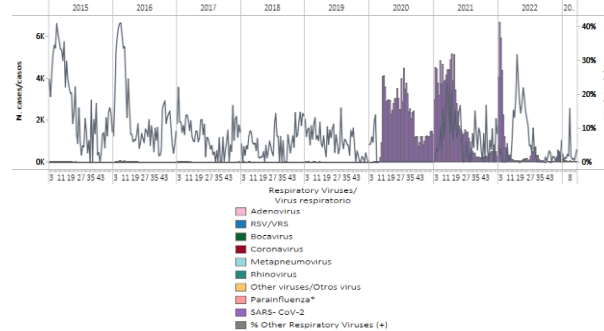
Graph 2. Ecuador: Influenza, RSV, and SARS-CoV-2 distribution EW 13, 2015-23

Distribución de los virus influenza, VRS y SARS-CoV-2, SE 13, 2015-23



Graph 4. Ecuador: RSV, SARS-CoV-2, and other respiratory viruses distribution, (non-sentinel sites) EW 13, 2015-23

Distribución del VRS, SARS-CoV-2 y otros virus respiratorios, (sitios no centinela) SE 13, 2015-23



2

3

4

5

6

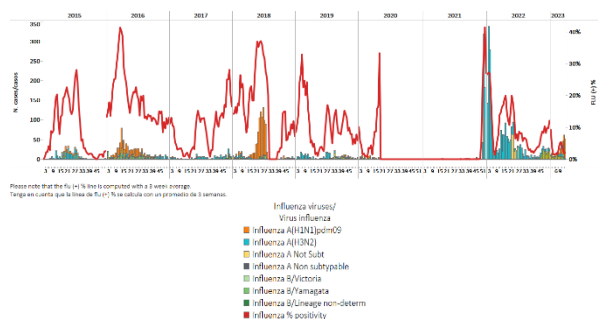
7



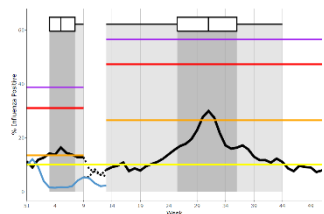
Peru / Perú

During EW 13 2023, influenza A(H1N1)pdm09 viruses predominated followed by A(H3N2) (Graph 1). Influenza activity was at baseline levels (Graph 3). Few respiratory syncytial virus detections were recorded, with activity at baseline levels. SARS-CoV-2 percent positivity (7.2%) increased compared to the previous week (Graphs 2 and 4). / Durante la SE 13 de 2023 predominaron los virus influenza A(H1N1)pdm09 seguidos de A(H3N2) (Gráfico 1). La actividad de la influenza se ubicó en niveles de actividad basales (Gráfico 3). Se registraron pocas detecciones de virus respiratorio sincitial, con actividad en los niveles basales. El porcentaje de positividad del SARS-CoV-2 (7,2 %) aumentó en comparación con la semana previa (Gráficos 2 y 4).

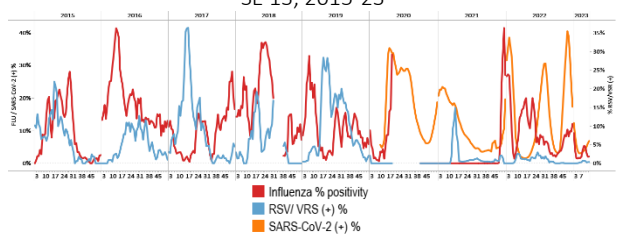
Graph 1. Peru: Influenza virus distribution, EW 13, 2015-23
Distribución de virus influenza, SE 13, 2015-23



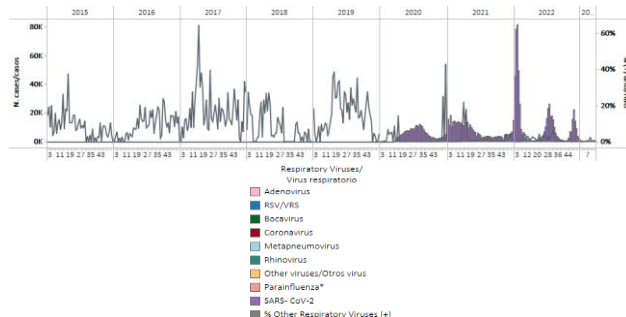
Graph 3. Peru: Percent positivity for influenza, EW 13, 2023
(compared to 2010-22)
Porcentaje de positividad de influenza, SE 13 de 2023
(comparado con 2010-22)



Graph 2. Peru: Influenza, RSV, and SARS-CoV-2 distribution,
EW 13, 2015-23
Distribución de virus influenza, VRS y SARS-CoV-2,
SE 13, 2015-23



Graph 4. Peru: RSV, SARS-CoV-2, and other respiratory viruses
distribution, EW 13, 2015-23
Distribución del VRS, SARS-CoV-2 y otros virus respiratorios,
SE 13, 2015-23

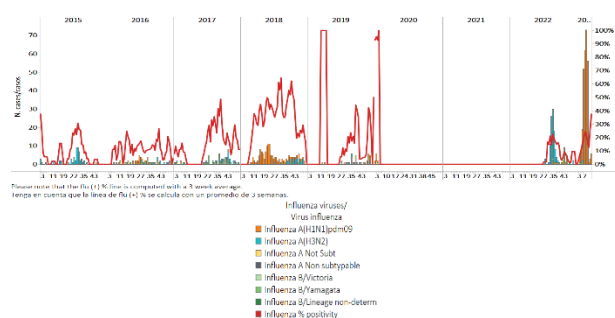




Venezuela

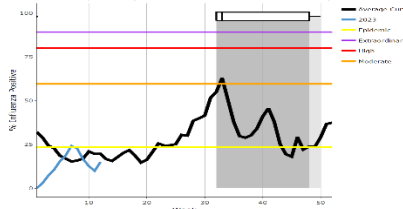
During EW 12, influenza detections were reported, with the circulation of influenza A(H1N1)pdm09 (Graph 1); no RSV detections were recorded (Graph 2). Influenza activity increased below the average of previous years at baseline levels (Graph 3). No other respiratory virus detections were recorded (Graph 4). / Durante la SE 12 se reportaron detecciones de influenza, con la circulación de influenza A(H1N1)pdm09 (Gráfico 1); no se registraron detecciones de VRS (Gráfico 2). La actividad de la influenza aumentó ubicándose debajo del promedio de años anteriores en niveles basales (Gráfico 3). No se registraron detecciones de otros virus respiratorios (Gráfico 4).

Graph 1. Venezuela: Influenza virus distribution by EW 12, 2015-23
Distribución de virus influenza por SE 12, 2015-23



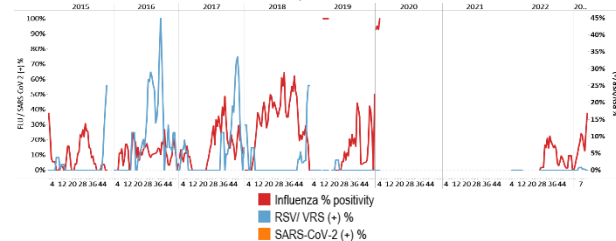
Graph 3. Venezuela: Percent positivity for influenza, EW 12, 2023
(compared to 2010-21)

Porcentaje de positividad de influenza, SE 12 de 2023
(comparado con 2010-21)



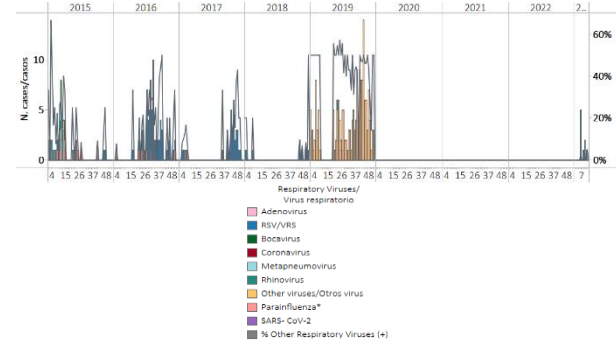
Graph 2. Venezuela: Influenza, RSV, and SARS-CoV-2 distribution,
EW 12, 2015-23

Distribución de virus influenza, VRS y SARS-CoV-2,
SE 12, 2015-23



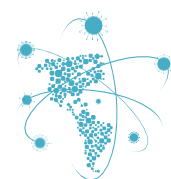
Graph 4. Venezuela: RSV, SARS-CoV-2, and other respiratory
viruses distribution, EW 12, 2015-23

Distribución del VRS, SARS-CoV-2 y otros virus respiratorios,
SE 12, 2015-23





**SUBREGION
SOUTH AMERICA / AMÉRICA DEL SUR
SOUTH CONE AND BRAZIL / CONO SUR Y BRASIL**



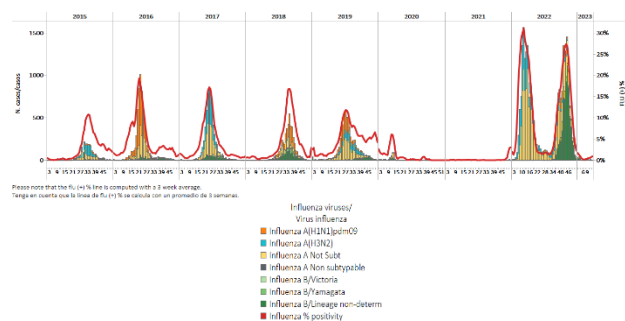


Influenza and ORV Report EW 13 2023 / Reporte de influenza y OVR SE 13 2023

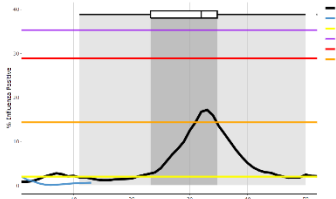
Argentina

During EW 13 2023, a single influenza B (lineage undetermined) detection was reported nationally, with influenza activity at baseline levels (Graphs 1 and 3). Minimal respiratory syncytial virus detections were recorded. SARS-CoV-2 activity was low, with increased positivity (10.3%) compared to the previous week (Graphs 2 and 4). In addition, ILI consultations were below the average of previous seasons for this time of year at baseline levels (Graph 5); similarly, the number of SARI cases remained stable at baseline levels (Graph 6). / Durante la SE 13 de 2023, a nivel nacional se notificó una sola detección de influenza B (linaje indeterminado), con actividad de la influenza en los niveles basales (Gráficos 1 y 3). Se registraron detecciones mínimas de virus respiratorio sincitial. La actividad del SARS-CoV-2 estuvo baja, con un aumento de la positividad (10,3 %) con respecto a la semana previa (Gráficos 2 y 4). Además, las consultas por ETI estuvieron por debajo del promedio de temporadas anteriores para esta época del año en los niveles basales (Gráfico 5); de igual forma, el número de casos de IRAG se mantuvo estable en los niveles basales (Gráfico 6).

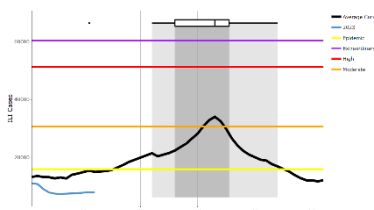
Graph 1. Argentina: Influenza virus distribution, EW 13, 2015-23
Distribución de virus influenza, SE 13, 2015-23



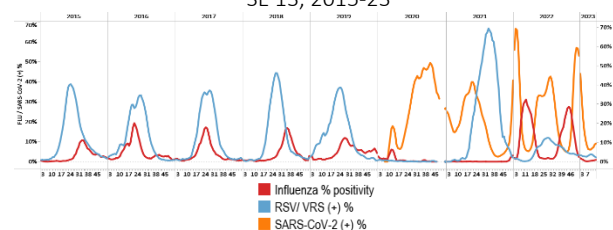
Graph 3. Argentina: Percent positivity for influenza, EW 13, 2023 (compared to 2010-22)
Porcentaje de positividad de influenza, SE 13 de 2023 (comparado con 2010-22)



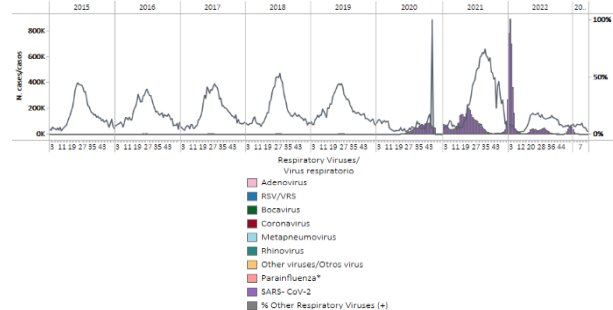
Graph 5. Argentina: Number of ILI cases, EW 13, 2023 (compared to 2012-22)
Número de casos de ETI, SE 13 de 2023 (comparado con 2012-22)



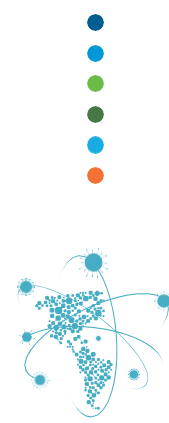
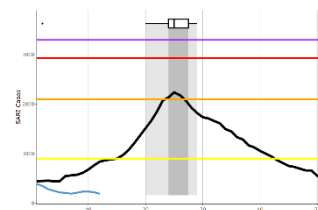
Graph 2. Argentina: Influenza, RSV, and SARS-CoV2 distribution EW 13, 2015-23
Distribución de virus influenza, VRS y SARS-CoV-2, SE 13, 2015-23



Graph 4. Argentina: RSV, SARS-CoV-2, and other respiratory virus distribution, EW 13, 2015-23
Distribución del VRS, SARS-CoV-2 y otros virus respiratorios, SE 13, 2015-23



Graph 6. Argentina: Number of SARI cases, EW 13, 2023 (compared to 2012-22)
Número de casos de IRAG, SE 13 de 2023 (comparado con 2012-22)





2

3

4

5

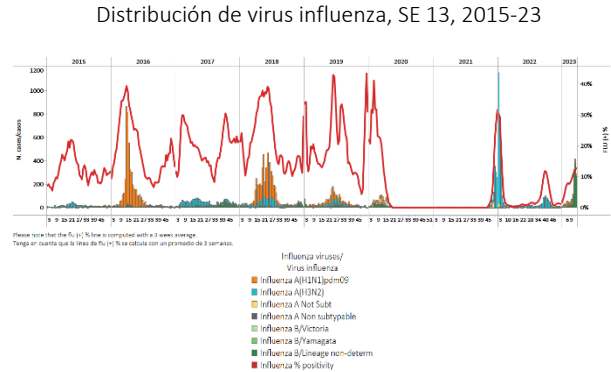
6

7

Brazil / Brasil

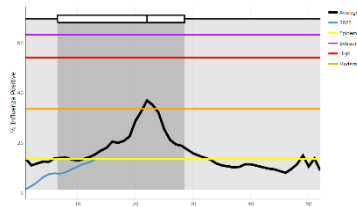
In EW 13 2023, influenza B viruses predominated, with influenza A(H1N1)pdm09 co-circulation. Influenza activity continued to increase, reaching the epidemic threshold (Graphs 1 and 3). However, respiratory syncytial virus activity decreased. SARS-CoV-2 detections and percent positivity (8.7%) remained elevated (Graphs 2 and 4). SARI cases / 100 hospitalizations have shown an increasing trend above the average of previous years at a moderate activity level (Graph 5). Of 1018 SARI cases, 563 (55.3%) were sampled, of which 220 (39.1%) were RSV positive and 96 (9.4%) were influenza-associated SARI. Of 484 ICU admissions, 38.0% were SARI cases, 50.5% were positive for influenza, and most cases occurred among those 5–14 years. / En la SE 13 de 2023 predominaron los virus influenza B, con circulación concurrente de influenza A(H1N1)pdm09. La actividad del virus de la influenza continuó aumentando, alcanzando el umbral epidémico (Gráficos 1 y 3). Sin embargo, la actividad del virus respiratorio sincitrial disminuyó. Las detecciones de SARS-CoV-2 y el porcentaje de positividad (8,7 %) permanecieron elevados (Gráficos 2 y 4). El número de casos de IRAG por cada 100 hospitalizaciones ha mostrado una tendencia creciente por encima del promedio de años anteriores en un nivel de actividad moderado (Gráfico 5). De 1018 casos de IRAG, se les tomó muestra a 563 (55,3 %), de los cuales 220 (39,1 %) resultaron positivos para VRS y 96 (9,4 %) fueron casos de IRAG asociados a la influenza. De 484 admisiones a la UCI, el 38,0 % fueron casos de IRAG, el 50,5 % resultaron positivos para influenza y la mayoría de los casos ocurrieron en los de 5 a 14 años.

Graph 1. Brazil: All NICs. Influenza virus distribution, EW 13, 2015-23



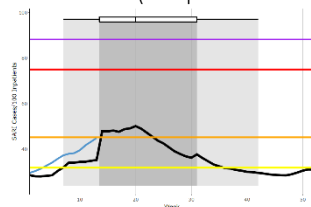
Graph 3. Brazil: Percent positivity for influenza, EW 13, 2023 (compared to 2011-22)

Porcentaje de positividad de influenza, SE 13 de 2023 (comparado con 2011-22)



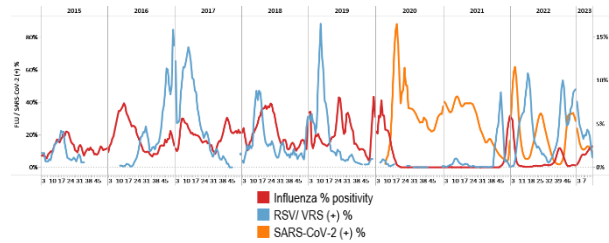
Graph 5. Brazil: SARI cases/100 hospitalizations EW 13, 2023 (compared to 2020-22)

Casos de IRAG/100 hospitalizaciones SE 13 de 2023 (comparado con 2020-22)



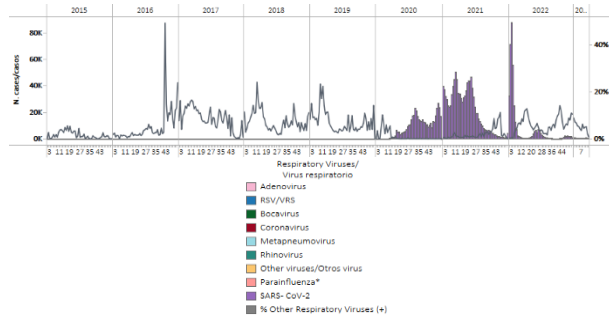
Graph 2. Brazil: All NICs. Influenza, RSV, and SARS-CoV-2, distribution, EW 13, 2015-23

Distribución de los virus influenza, VRS y SARS-CoV-2, SE 13, 2015-23



Graph 4. Brazil: All NICs. RSV, SARS-CoV-2, and other respiratory virus distribution, EW 13, 2015-23

Distribución del VRS, SARS-CoV-2 y otros virus respiratorios, SE 13, 2015-23

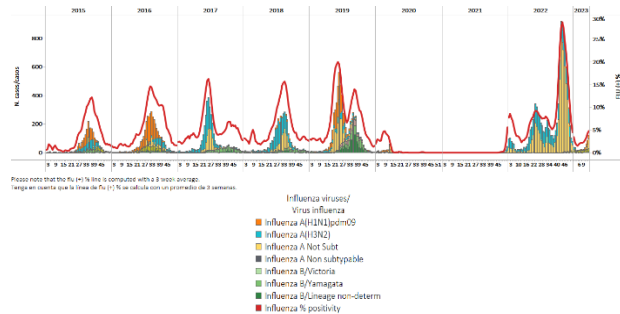




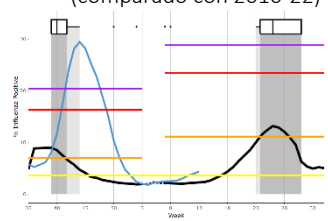
Chile

During EW 13 2023, the influenza A(H1N1)pdm09 virus predominated, with the co-circulation of influenza B/Victoria and A(H3N2). Influenza activity remained above the average of previous years, above the epidemic threshold for this time of year at a low-intensity level (Graphs 1 and 3). Respiratory syncytial virus activity levels and percent positivity increased; adenovirus, parainfluenza, and metapneumovirus were registered at higher levels than pre-pandemic levels. SARS-CoV-2 activity remained stable (4.8%) compared to the previously reported (Graphs 2 and 4). Influenza-like illness visits have shown an increasing trend at low-intensity levels for this time of year (Graph 5). Of 254 ILI cases, 79 were sampled; 12.7% tested positive for influenza, and 1.3% were positive for SARS-CoV-2, 5.1% were positive for other different analyzed viruses. Severe acute respiratory infection cases / 100 hospitalizations remained unchanged at low-intensity levels (Graph 6). Among 145 sampled SARI cases, 6.2% were positive for SARS-CoV-2, 4.1% were RSV-positive, and 3.4% were influenza-associated SARI. A more significant proportion (40.7%) tested positive for viruses different from influenza, RSV, or SARS-CoV-2. Among 435 ICU admissions, 4.6% were SARI cases, 10% tested positive for SARS-CoV-2, and 5.0% were influenza-associated SARI. The largest proportion of SARI cases were 60 years and older. Most SARI cases resided in Tarapaca, Bio Bio, Los Lagos, and Metropolitana de Santiago. Durante la SE 13 de 2023 predominó el virus influenza A(H1N1)pdm09, con circulación de influenza B/Victoria y A(H3N2). La actividad del virus de la influenza se mantuvo por encima del promedio de años previos, por encima del umbral epidémico para esta época del año, en un nivel de baja intensidad (Gráficos 1 y 3). Los niveles de actividad del virus sincitial respiratorio y el porcentaje de positividad aumentaron; de manera similar se registraron detecciones de adenovirus, parainfluenza y metapneumovirus en niveles superiores a los niveles previos a la pandemia. La actividad del SARS-CoV-2 se mantuvo estable (4,8 %) en comparación con lo reportado previamente (Gráficos 2 y 4). El número de consultas por enfermedad tipo influenza ha mostrado una tendencia creciente con niveles de baja intensidad para esta época del año (Gráfico 5). De 254 casos de ETI, se les tomó muestras a 79; el 12,7 % resultaron positivos a influenza, y el 1,3 % fueron positivos a SARS-CoV-2, el 5,1 % fueron positivos para otros virus analizados. El número de casos de infección respiratoria aguda grave por cada 100 hospitalizaciones se mantuvo sin cambios en niveles de baja intensidad (Gráfico 6). De los 145 casos de IRAG con muestra el 6,2 % resultaron positivos para SARS-CoV-2, el 4,1 % para VRS y el 3,4 % fueron casos de IRAG asociados a la influenza. Una proporción más significativa (40,7 %) resultaron positivos para virus diferentes a la influenza, el VRS o el SARS-CoV-2. De las 435 admisiones a la UCI, un 4,6 % fueron casos de IRAG, el 10 % de ellos resultaron positivos para SARS-CoV-2 y el 5,0 % estuvieron asociados a la influenza. La mayor proporción de casos de IRAG tenían 60 años o más. La mayoría de los casos de IRAG residían en Tarapacá, Bío Bío, Los Lagos y Metropolitana de Santiago.

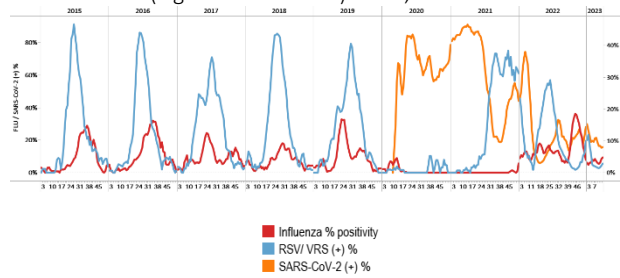
Graph 1. Chile: Influenza virus distribution, EW 13, 2015-23
Distribución de virus de influenza, SE 13, 2015-23



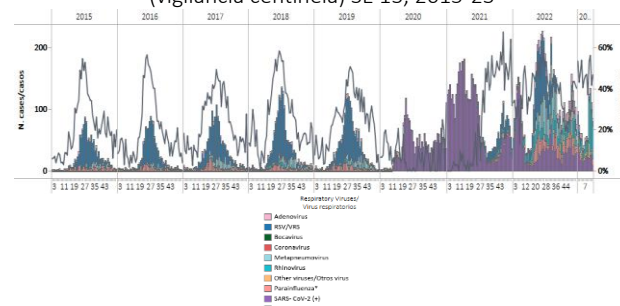
Graph 3. Chile: Percent positivity for influenza, EW 13, 2023 (compared to 2010-22)
Porcentaje de positividad de influenza, SE 13 de 2023 (comparado con 2010-22)



Graph 2. Chile: Influenza, RSV, and SARS-CoV-2, distribution, (sentinel surveillance) EW 13, 2015-23
Distribución de los virus influenza, VRS y SARS-CoV-2, (vigilancia centinela) SE 13, 2015-23



Graph 4. Chile: RSV, SARS-CoV-2, and other respiratory viruses distribution, (sentinel surveillance) EW 13, 2015-23
Distribución del VRS, SARS-CoV-2 y otros virus respiratorios (vigilancia centinela) SE 13, 2015-23



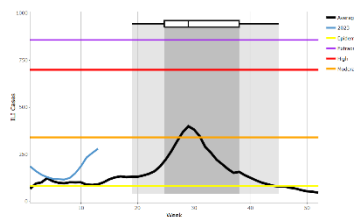


Influenza and ORV Report EW 13 2023 / Reporte de influenza y OVR SE 13 2023

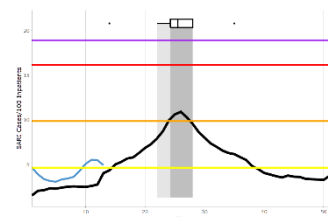
Weekly / Semanal

43

Graph 5. Chile: Number of ILI cases EW 13, 2023
(compared to 2015-22)
Número de consultas por ETI, SE 13 de 2023
(comparado con 2015-22)



Graph 6. Chile: SARI cases/100 hospitalizations (sentinel surveillance) EW 13, 2023 (compared to 2015-22)
Casos de IRAG/100 hospitalizaciones (vigilancia centinela),
SE 13 de 2023 (comparado con 2015-22)



2

3

4

5

6

7



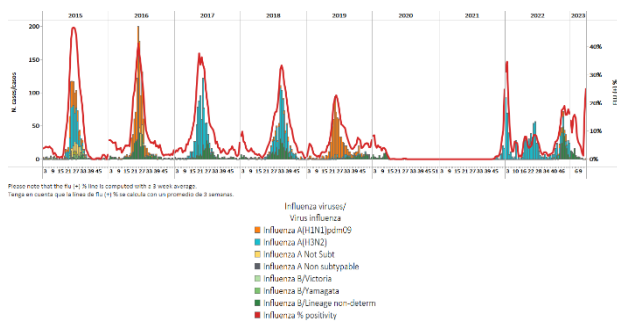
Paraguay

In EW 13 2023, minimal influenza A(H1N1)pdm09 detections were reported. Influenza activity decreased to baseline levels; no RSV detections were registered (Graphs 1, 2, and 3). Of 17 samples analyzed for SARS-CoV-2, none tested positive; activity decreased compared to previously recorded (Graphs 2 and 4). SARI/100 hospitalizations at sentinel sites have remained above the average of previous years at the epidemic threshold (Graph 5). Two (1.0%) of 211 sampled SARI cases tested positive for SARS-CoV-2; no other viruses were detected. ILI cases/1000 outpatients remained unchanged at baseline levels (Graph 6). / En la SE 13 de 2023, se reportaron detecciones mínimas de influenza A(H1N1)pdm09. La actividad de la influenza disminuyó a los niveles basales; no se registraron detecciones de VRS (Gráficos 1, 2 y 3). De 17 muestras analizadas para SARS-CoV-2, ninguna resultó positiva; la actividad disminuyó con respecto a lo registrado previamente (Gráficos 2 y 4). En los sitios centinela el número de casos de IRAG por cada 100 hospitalizaciones se ha mantenido por encima del promedio de años previos, ubicándose en el umbral epidémico (Gráfico 5). Dos (1,0 %) de 211 casos de IRAG con muestra resultaron positivos para SARS-CoV-2; no se detectaron otros virus. El número de casos de ETI por cada 1000 pacientes ambulatorios se mantuvo sin cambios en los niveles basales (Gráfico 6).

Graph 1. Paraguay: Influenza virus distribution

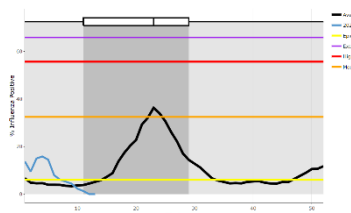
EW 13, 2015-23

Distribución de virus de influenza,
SE 13, 2015-23



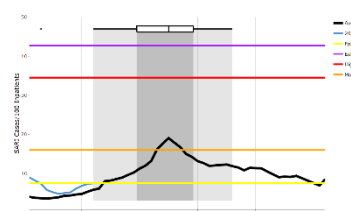
Graph 3. Paraguay: Percent positivity for influenza, EW 13, 2023
(in comparison to 2010-22)

Porcentaje de positividad de influenza, SE 13 de 2023
(comparado con 2010-22)



Graph 5. Paraguay: Number of SARI cases / 100 inpatients
EW 13, 2023 (compared to 2015-22)

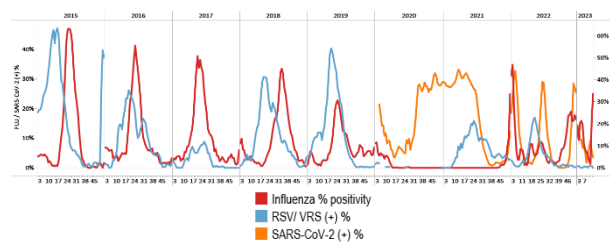
Número de casos de IRAG / 100 hospitalizaciones, SE 13 de 2023
(comparado con 2015-22)



Graph 2. Paraguay: Influenza, RSV, and SARS-CoV-2 distribution,

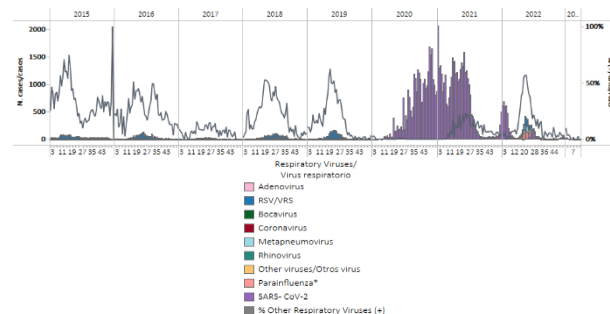
EW 13, 2015-23

Distribución de los virus influenza, VRS y SARS-CoV-2,
SE 13, 2015-23



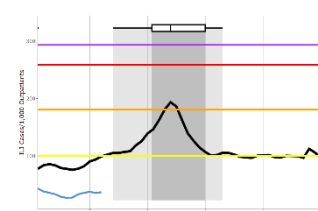
Graph 4. Paraguay: RSV, SARS-CoV-2, and other respiratory viruses distribution, EW 13, 2015-23

Distribución del VRS, SARS-CoV-2 y otros virus respiratorios,
SE 13, 2015-23



Graph 6. Paraguay: ILI cases/1000 outpatients, EW 13, 2023
(compared to 2015-22)

Casos de ETI por cada 1000 consultas ambulatorias, SE 13 de 2023 (comparado con 2015-22)

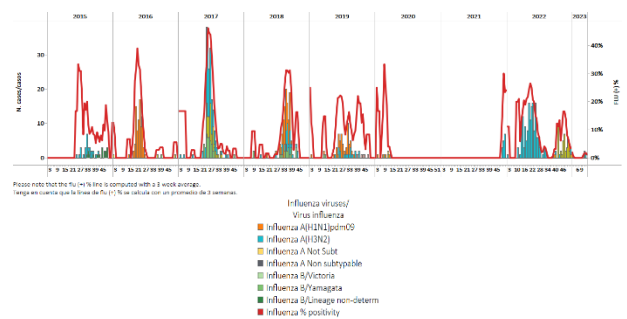




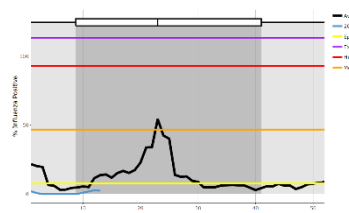
Uruguay

In EW 13 2023, no influenza detections were reported, with circulation of influenza A(H3N2) the previous week. Percent positivity remained at baseline levels (Graphs 1 and 3). No respiratory syncytial virus detections were recorded. Of 32 samples tested for SARS-CoV-2, none tested positive (Graphs 2 and 4). SARI cases/100 hospitalizations at sentinel sites remained increased at a low activity level (Graph 5). Among 22 SARI cases sampled, 4.5% were positive for SARS-CoV-2. No other viruses tested were identified. / En la SE 13 de 2023, no se reportaron detecciones de influenza con circulación de influenza A(H3N2) en la semana previa. El porcentaje de positividad se mantuvo en los niveles basales (Gráficos 1 y 3). No se registraron detecciones de virus respiratorio sincitial. De 32 muestras analizadas para SARS-CoV-2, ninguna resultó positiva (Gráficos 2 y 4). El número de casos de IRAG por cada 100 hospitalizaciones en sitios centinela se mantiene elevado en un nivel de actividad de baja (Gráfico 5). De los 22 casos de IRAG con muestra el 4,5 % resultaron positivos para SARS-CoV-2. No se identificaron otros virus analizados.

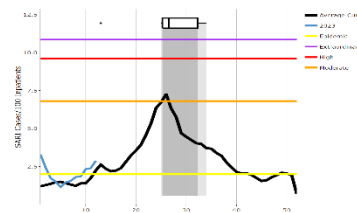
Graph 1. Uruguay: Influenza virus distribution EW 13, 2015-23
Distribución de virus de influenza, SE 13, 2015-23



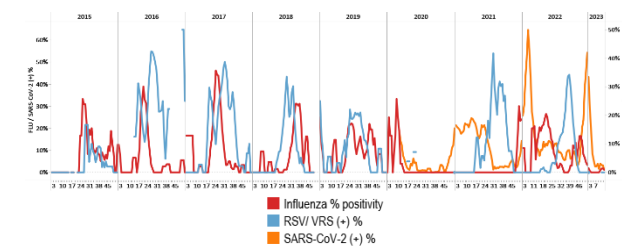
Graph 3. Uruguay: Percent positivity for influenza, EW 13, 2023
(compared to 2010-22)
Porcentaje de positividad de influenza, SE 13 de 2023
(comparado con 2010-22)



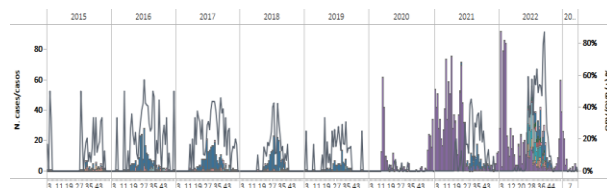
Graph 5. Uruguay: SARI cases/100 hospitalizations
(sentinel surveillance), EW 12, 2023 (compared to 2017-22)
Casos de IRAG por cada 100 hospitalizaciones (vigilancia centinela),
SE 12 de 2023 (comparado con 2017-22)



Graph 2. Uruguay: Influenza and RSV distribution, EW 13, 2015-23
Distribución de los virus influenza y VRS, SE 13, 2015-23



Graph 4. Uruguay: RSV, SARS-CoV-2, and other respiratory viruses distribution, EW 13, 2015-23
Distribución del VRS, SARS-CoV-2 y otros virus respiratorios,
SE 13, 2015-23





TECHNICAL NOTE

Average Curves

Average curves for influenza-like illness (ILI), acute respiratory infection (ARI), pneumonia, and severe acute respiratory infection (SARI) were generated using the WHO Average Curve App.

In the report, the average curve is shown in black and the ongoing season is shown in blue. The average curve shows a typical season in terms of both timing and intensity. The distribution of past seasonal peaks is shown with a boxplot and vertical shading. Thresholds depicting the intensity of activity are shown with colored lines⁵.

Viral distribution by year and epidemiological week

Please note that the percent positivity line of influenza and other respiratory virus is computed with a three (3) week average⁶.

NOTA TÉCNICA

Curvas promedio

Las curvas promedio para la enfermedad tipo influenza (ETI), infección respiratoria aguda (IRA), neumonía e infección respiratoria aguda grave (IRAG) se generaron utilizando la aplicación de Curva promedio de la OMS.

En el informe, la curva promedio se muestra en negro y la temporada en curso se muestra en azul. La curva promedio muestra una temporada típica en términos de tiempo e intensidad. La distribución de los picos estacionales anteriores se muestra con un diagrama de caja y sombreado vertical. Los umbrales que representan la intensidad de la actividad se muestran con líneas de colores⁵.

Distribución de los virus por año y semana epidemiológica

Tenga en cuenta que la línea del porcentaje de positividad para influenza y los otros virus respiratorios se calcula con un promedio de tres (3) semanas⁶.



⁵ WHO (2021), WHO Average Curves software, Version 0.3 (9 Oct 2019), © Copyright World Health Organization (WHO), Geneva.

⁶ World Health Organization. (2013). Global epidemiological surveillance standards for influenza. World Health Organization.

<https://apps.who.int/iris/handle/10665/311268>

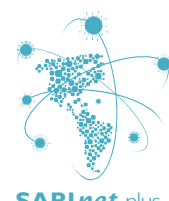


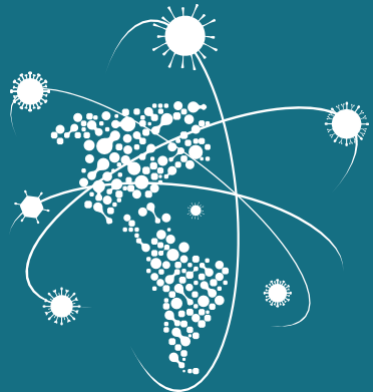
ACRONYMS

ARI	Acute respiratory infection
CARPHA	Caribbean Public Health Agency
EW	Epidemiological week
ILI	Influenza-like illness
NIH	National Institute of Health
ORV	Other respiratory viruses
SARI	Severe acute respiratory infection
ICU	Intensive care unit
RSV	Respiratory syncytial virus

ACRÓNIMOS

CARPHA	Agencia de Salud Pública del Caribe
ETI	Enfermedad tipo influenza
INS	Instituto Nacional de Salud
IRA	Infección respiratoria aguda
IRAG	Infección respiratoria aguda grave
OVR	Otros virus respiratorios
SE	Semana epidemiológica
UCI	Unidad de cuidados intensivos
VRS	Virus respiratorio sincitial





SARI*net* plus

Severe Acute Respiratory Infections Network



Pan American
Health
Organization



World Health
Organization
REGIONAL OFFICE FOR THE Americas

OPS



Organización
Panamericana
de la Salud



Organización
Mundial de la Salud
OFICINA REGIONAL PARA LAS Américas

2023